



**TUGAS AKHIR - TM 145502**

**RANCANG BANGUN MESIN GERINDA KIMIA  
ELEKTRONIK VERTIKAL YANG MAMPU  
BERGERAK HORIZONTAL DENGAN KAPASITAS  
1000 mm<sup>3</sup>/min**

**ANGGA PERMANA PUTRA  
NRP 1021150000039**

**Dosen Pembimbing  
Ir. Winarto, DEA**

**DEPARTEMEN TEKNIK MESIN INDUSTRI  
Fakultas Vokasi  
Institut Teknologi Sepuluh Nopember  
Surabaya 2018**



FINAL PROJECT - TM 145502

**DESIGN OF VERTICAL ELECTROCHEMICAL  
GRINDING MACHINE THAT IS ABLE TO MOVE  
HORIZONTAL WITH A CAPACITY OF 1000  
 $\text{mm}^3/\text{min}$**

ANGGA PERMANA PUTRA  
NRP 1021150000039

Advisor  
Ir. Winarto, DEA

INDUSTRIAL MECHANICAL ENGINEERING DEPARTMENT  
Faculty of Vocational  
Institut Teknologi Sepuluh Nopember  
Surabaya 2018

## LEMBAR PENGESAHAN

### RANCANG BANGUN MESIN GERINDA KIMIA ELEKTRONIK VERTIKAL YANG BERGERAK HORIZONTAL DENGAN KAPASITAS 1000 mm<sup>3</sup>/min

#### TUGAS AKHIR

Diajukan Untuk Memenuhi Salah Satu Syarat

Memperoleh Gelar Ahli Madya

Pada Bidang Studi Manufaktur

Departemen Teknik Mesin Industri

Fakultas Vokasi

Institut Teknologi Sepuluh Nopember

Oleh :

**ANGGA PERMANA PUTRA**

NRP. 1021150000039



SURABAYA, JULI 2018

# **RANCANG BANGUN MESIN GERINDA KIMIA ELEKTRONIK VERTIKAL YANG MAMPU BERGERAK HORIZONTAL DENGAN KAPASITAS 1000 mm<sup>3</sup>/min**

**Nama Mahasiswa : Angga Permana Putra  
NRP : 1021150000039  
Departemen : Teknik Mesin Industri FV-ITS  
Dosen Pembimbing : Ir. Winarto, DEA**

## **Abstrak**

Pemesinan non konvensional berkembang pesat baik dalam lingkungan industri maupun di lingkungan pendidikan. Termasuk di Departemen Teknik Mesin Industri, Fakultas Vokasi, Institut Teknologi Sepuluh Nopember yang sudah memiliki mesin – mesin non konvensional, salah satunya adalah *Electrochemical Grinding*, dimana alat tersebut memiliki kekurangan dalam arah gerak pahat, sehingga dilakukan modifikasi pada meja mesin dan menghitung daya yang digunakan motor penggerak, yang bertujuan sebagai alat untuk praktikum di lab Pemesinan Non Konvensional Teknik Mesin Industri – FV – ITS.

Menurut Serope Kalpakjian dan Steven R. Schmid pada buku *Manufacturing Engineering and Technology*, sebagian besar dari *Metal Removal Rate* (MRR) terjadi oleh proses elektrolisis dan sekitar 5% yang terjadi oleh proses penggerindaan mekanis. Pada mesin ECG sebelumnya akan dibuat penyempurnaan sistem gerak mata gerinda pada mesin *Electrochemical Grinding* agar dapat melakukan pekerjaan yang lebih membutuhkan kepresisionan. Sistem gerak akan bergerak secara sumbu x, y dan z. Untuk bergerak arah sumbu x dan y akan dipasang motor sehingga bergerak secara manual, sedangkan untuk sumbu z digerakkan secara manual dengan tangan manusia.

Hasil penelitian ini menunjukkan bahwa mesin ECG ini memiliki kapasitas 1179,11 mm<sup>3</sup>/min, dan dengan kecepatan gerak arah sumbu x atau sumbu y dengan kecepatan maksimal 200

mm/min, dengan daya motor penggerak pahat sebesar 0,335 HP dan daya motor penggerak meja sebesar 0,268 HP.

***Kata kunci : ECM, ECG, Manufacturing Engineering.***

# **DESIGN OF VERTICAL ELECTROCHEMICAL GRINDING MACHINE THAT IS ABLE TO MOVE HORIZONTAL WITH A CAPACITY OF 1000 mm<sup>3</sup>/min**

<b>Name of Student</b>	<b>:</b> Angga Permana Putra
<b>NRP</b>	<b>:</b> 10211500000039
<b>Department</b>	<b>:</b> Teknik Mesin Industri FV-ITS
<b>Advisor</b>	<b>:</b> Ir. Winarto, DEA

## **Abstract**

Non-conventional machining is growing rapidly in both industrial and educational environments. Included in the Department of Mechanical Industrial Engineering, Faculty of Vocational, Sepuluh Nopember Institute of Technology which already has non-conventional machines, one of which is Electrochemical Grinding, where the tool still has deficiencies in terms of motion tool, so that modifications are made in the direction of motion on the grinding wheel and calculate the power used by the propulsion motors, for purpose as a tool for practicum in the lab of Non-Conventional Machining of Industrial Machine Engineering - FV - ITS.

According to Serope Kalpakjian and Steven R. Schmid on the book Manufacturing Engineering and Technology, most of the Metal Removal Rate (MRR) occurs by electrolysis process and about 5% occur by mechanical grinding process. In the previous ECG machine will be made improvements to the grinding eye system on the Electrochemical Grinding machine in order to perform more precise occupation of precision. The motion system will move x, y and z axis. To move the direction of the x and y axes will be mounted the motor so that it moves manually, while the z-axis is manually moved by human hand.

The results of this research indicate that this ECG machine has a capacity of 1179.11 mm<sup>3</sup>/min, and with x or y axis direction velocity with a maximum speed of 200 mm / min, with a drive

motor power of 0.335 HP and a motor drive power of 0.268 HP.

*Keyword : ECM, ECG, Manufacturing Engineering.*

## **KATA PENGANTAR**

Alhamdulillah segala puji bagi Allah SWT karena atas rahmat dan hidayah-Nya sehingga penulis dapat menyelesaikan tugas akhir dengan judul:

### **"Rancang Bangun Mesin Gerinda Kimia Elektronik Vertikal yang Mampu Bergerak Horizontal dengan Kapasitas 1000 mm<sup>3</sup>/min"**

Tugas akhir ini merupakan persyaratan yang harus dipenuhi oleh setiap mahasiswa Teknik Mesin Industri ITS sesuai untuk menyelesaikan studinya.

Tugas akhir ini dapat diselesaikan tentunya dengan dukungan dan bantuan banyak pihak. Oleh karena itu penulis mengucapkan terimakasih dan penghargaan kepada:

1. Bapak Ir. Winarto, DEA selaku dosen pembimbing yang telah memberikan banyak ilmu, arahan, motivasi dan nasehat.
2. Bapak Ir. Nur Husodo, M.Sc. selaku dosen wali yang telah memberi arahan dari awal masuk kuliah hingga akhir masa studi.
3. Bapak Ir. Suhariyanto, M.Sc sekalu Koordinator Tugas Akhir.
4. Bapak Dr. Ir. Heru Mirmanto, M.T. selaku Kepala Departemen Teknik Mesin Industri FV-ITS.
5. Dosen dan karyawan Departemen Teknik Mesin Industri FV-ITS.
6. Ayah, ibu, adik, beserta keluarga lainnya yang selalu memberikan doa, dukungan, motivasi, arahan dan nasihat bagi penulis.
7. Teman-teman seperjuangan angkatan 2015 yang selalu bisa menghadirkan tawa dalam kesulitan.
8. Ayu dan Lutfi yang sudah banyak membantu mengerjakan alat dan buku.
9. Wim, Aji, fikri dan teman-teman yang lain yang telah membantu mencari dan membuat komponen-komponen serta bahan-bahan untuk pembuatan alat.
10. Nuril yang selalu ikut membantu dalam proses penggerjaan alat ini.

11.Serta semua pihak yang tak mungkin saya sebutkan satu persatu  
saya ucapkan terimakasih yang sebesar-besarnya.

Penulis menyadari bahwa buku tugas akhir ini masih jauh  
dari sempurna karena keterbatasan dari penulis. Untuk itu kritik,  
saran, dan masukan yang membangun sangat diharapkan demi  
kebermanfaatan buku tugas akhir ini

Surabaya, Juli 2018

Penulis

## DAFTAR ISI

HALAMAN JUDUL .....	i
LEMBAR PENGESAHAN.....	iii
ABSTRAK.....	iv
ABSTRACT .....	vi
KATA PENGANTAR .....	viii
DAFTAR ISI .....	x
DAFTAR GAMBAR .....	xii
DAFTAR TABEL .....	xiv
BAB I PENDAHULUAN .....	1
1.1. Latar Belakang .....	1
1.2. Rumusan Masalah .....	1
1.3. Tujuan.....	2
1.4. Manfaat.....	2
1.5. Batasan Masalah .....	2
1.6. Sistematika Penulisan .....	3
BAB II DASAR TEORI .....	5
2.1. <i>Electrochemical Grinding (ECG)</i> .....	5
2.1.1 Proses <i>Electrochemical Machining (ECM)</i> .....	6
2.1.2 Proses Penggerindaan Konvensional.....	7
2.2. <i>Bearing</i> .....	7
2.2.1 Klasifikasi Bearing.....	8
2.2.2 Prediksi Umur Bearing.....	10
2.3. Ulir Penggerak.....	13
2.3.1 Tegangan Pada Ulir Penggerak.....	14
2.3.2 Torsi Untuk Ulir Penggerak .....	15
2.4. Poros .....	17
2.4.1 Perhitungan Poros.....	17
2.4.2 Daya Desain Poros.....	17
2.5. Roda Gigi .....	18
2.5.1 Klasifikasi Roda Gigi .....	18
2.5.2 Ukuran – ukuran Dasar Roda Gigi .....	19

2.5.3 Beban Pada Roda Gigi.....	20
2.5.4 Persamaan AGMA .....	21
2.6. Perhitungan Elemen Mesin .....	26
2.6.1 Daya Penggerak <i>Metal-Bonded Grinding Wheel</i> .....	26
2.7 Perhitungan Gerinda Silindris .....	28
 BAB III METODOLOGI.....	29
3.1 Diagram Alir Proses Pembuatan Mesin ECG .....	29
3.2 Tahapan Proses Pembuatan Mesin ECG .....	30
 BAB IV PERENCANAAN DAN PERHITUNGAN .....	47
4.1 Perhitungan Struktur .....	47
4.1.1 Perhitungan Bantalan .....	49
4.1.1.1 Prediksi Umur Bearing.....	50
4.2 Perhitungan Sistem Gerak .....	51
4.2.1 Perhitungan Daya Penggerak <i>Metal-Bonded Grinding Wheel</i> .....	51
4.2.2 Perhitungan Poros .....	55
4.2.3 Perhitungan Ulir Penggerak .....	57
4.2.4 Perhitungan Roda Gigi .....	59
4.2.5 Perhitungan Gerinda Silindris .....	63
4.3 Hasil dan Analisa .....	65
 BAB V KESIMPULAN .....	69
5.1 Kesimpulan .....	69
5.2 Saran .....	69
Daftar Pustaka .....	70
Lampiran	

## DAFTAR GAMBAR

Gambar 2.1	Skema Proses ECG.....	5
Gambar 2.2	Lintasan Elektrolit pada ECM.....	6
Gambar 2.3	Skema Penggerindaan .....	7
Gambar 2.4	Konstruksi bearing .....	8
Gambar 2.5	Rolling bearing.....	9
Gambar 2.6	Radial Ball Bearing .....	9
Gambar 2.7	Dimensi dasar ulir penggerak .....	14
Gambar 2.8	Konstruksi ulir penggerak .....	16
Gambar 2.9	Roda gigi lurus .....	18
Gambar 2.10	Ukuran – ukuran dasar external gear .....	20
Gambar 2.11	Gaya yang terjadi pada gigi diteruskan ke bearing dan poros .....	21
Gambar 2.12	Kurva Faktor dinamis (Kv) .....	23
Gambar 2.13	Kurva faktor geometris (J), sudut kontak 20° roda gigi lurus .....	24
Gambar 2.14	Kurva faktor geometris (J), sudut kontak 25° roda gigi lurus .....	24
Gambar 2. 15	Proses Gerinda Silindris Pemakanan Radial .....	28
Gambar 3.1	Diagram Alir Proses Pembuatan Mesin ECG ....	29
Gambar 3.2	Sketsa Mesin ECG .....	30
Gambar 3.3	Desain Mesin ECG .....	31
Gambar 3.4	Kerangka Bagian Atas .....	32
Gambar 3.5	Akuarium Akrilik Bekas .....	33
Gambar 3.6	Metal Bonded Grinding Wheel Tampak Atas .....	34
Gambar 3.7	Metal Bonded Grinding Wheel Tampak Samping.....	34
Gambar 3.8	Poros .....	35
Gambar 3.9	Larutan Elektrolit NaOH .....	35
Gambar 3.10	Pompa Air Mini .....	36
Gambar 3.11	Benda kerja.....	36
Gambar 3.12	Dimensi benda kerja .....	37
Gambar 3.13	Power Supply 24 v .....	37

Gambar 3.14	Drill Tangan .....	38
Gambar 3.15	Roda Gigi .....	38
Gambar 3.16	Motor DC .....	39
Gambar 3.17	Asemblji Mesin ECG .....	39
Gambar 3.18	Pemotongan Plat .....	40
Gambar 3.19	Penyangga Mesin.....	41
Gambar 3.20	Rel .....	42
Gambar 3.21	Plat Siku .....	42
Gambar 3.22	Bearing .....	43
Gambar 3.23	Membuat Dudukan Bearing .....	43
Gambar 3.24	Ulir penggerak .....	44
Gambar 3.25	Sambungan Kerangka Atas dan Ulir .....	44
Gambar 3.26	Pemasangan Kaki Mesin .....	45
Gambar 4.1	Desain Kerangka Atas .....	47
Gambar 4.2	Free Body Diagram .....	48
Gambar 4.3	Dimensi poros metal-bonded grinding wheel ....	52
Gambar 4.4	Dimensi metal-bonded grinding wheel .....	53
Gambar 4.5	Arah Gaya Makan .....	54
Gambar 4.6	Skema tegangan torsi pada poros .....	56
Gambar 4.7	Gambar ulir segitiga .....	59
Gambar 4.8	Proses gerinda silindris .....	64
Gambar 4.9	Hasil penggerindaan konvensional .....	66
Gambar 4.10	Hasil pengujian proses ECG .....	67
Gambar 4.11	Perbandingan Hasil Penggerindaan .....	68

## **DAFTAR TABEL**

Tabel 2.1	Harga rata-rat koefisien gesek pada bearing .....	11
Tabel 2.2	Ball bearing service factors, $F_s$ .....	13
Tabel 2.3	Faktor koreksi beban lebih $K_o$ .....	22
Tabel 2.4	Faktor koreksi distribusi beban, $K_m$ .....	23
Tabel 2.5	Tegangan ijin material $ \sigma_b $ .....	25

## **BAB I**

### **PENDAHULUAN**

#### **1.1 Latar Belakang**

Pemesinan non konvensional berkembang pesat baik dalam lingkungan industri maupun di lingkungan pendidikan. Termasuk di Departemen Teknik Mesin Industri, Fakultas Vokasi Institut, Teknologi Sepuluh Nopember yang sudah memiliki mesin – mesin non konvensional seperti : Electro Discharge Machining (EDM), Water Jet Machining, Plasma Arc Machining, dan Electrochemical Grinding (ECG).

Salah satu contoh dalam penggunaan mesin Electrochemical Machining adalah Electrochemical Grinding. Cara kerja proses ECM yaitu melakukan proses penggerindaan benda kerja dengan batu gerinda dengan gerak mekanis partikel abrasif dengan bahan bersifat konduktor dan reaksi elektrokimia secara bersamaan.

Dalam tugas akhir sebelumnya oleh Tito Bagaswara dengan judul “Rancang Bangun Mesin Electrochemical Grinding dengan Kapasitas  $100 \text{ mm}^3/\text{min}$ ” telah dibuat mesin ECG namun memiliki kekurangan, yaitu pada proses gerak mata gerinda yang sangat terbatas hanya mampu bergerak secara z axis. Dari hal tersebut maka, penelitian ini dibuat untuk menyempurnakan sistem gerak mata gerinda pada mesin Electrochemical Grinding agar dapat melakukan pekerjaan yang lebih membutuhkan kepresision. Sistem gerak akan bergerak secara sumbu x, y dan z. Untuk bergerak arah sumbu x dan y akan dipasang motor sehingga bergerak secara manual, sedangkan untuk sumbu z digerakkan secara manual dengan tangan manusia.

#### **1.2 Rumusan Masalah**

Pada tugas akhir ini ada beberapa hal yang akan dibahas yaitu:

1. Bagaimana memodifikasi mesin ECG yang sudah ada dengan menambahkan motor dan komponen yang ada di laboratorium Pemesinan non konvensioanl (PNK) Teknik Mesin Industri ITS.

2. Bagaimana menghitung daya yang dibutuhkan untuk menggerakkan pahat gerinda.
3. Bagaimana menambah arah gerak meja mesin ECG dengan menggunakan motor.

### **1.3 Tujuan**

Adapun tujuan dari tugas akhir ini adalah sebagai berikut :

1. Membuat mesin ECG dengan memanfaatkan komponen dan bahan yang ada di laboratorium PNK Teknik Mesin Industri.
2. Mengetahui Daya yang dibutuhkan untuk menggerakkan pahat gerinda.
3. Menambah arah gerak meja dari ECG yang sudah ada sebelumnya.

#### **a. Manfaat**

Adapun manfaat dari penelitian tugas akhir ini adalah sebagai berikut :

2. Sebagai alat yang dapat digunakan sebagai praktikum oleh mahasiswa yang mengambil mata kuliah pemesinan non konvensional.
3. Sebagai fasilitas untuk melakukan penelitian pengembangan lebih lanjut mengenai pemesinan non konvensional khususnya ECG.

### **1.5 Batasan Masalah**

1. Motor yang digunakan untuk menggerakkan pahat ke sumbu x dan y menggunakan motor dc power windows 24 volt.
2. Tool yang digunakan adalah *metal-bonded diamond wheel* dengan model 12A2 dan diameter 100 mm dengan 24 segmen pada partikel abrasifnya.
3. Tegangan yang digunakan 24 volt untuk motor penggerak pahat dan meja.
4. Putaran motor penggerak pahat yang digunakan 3000 rpm.
5. Bahan benda kerja yang digunakan adalah aluminium.

6. Kekuatan Las dianggap aman.
7. Getaran pada mesin tidak dihitung.

## **1.6 Sistematika Penulisan**

### **BAB I PENDAHULUAN**

Pada bab ini menjelaskan tentang latar belakang, rumusan masalah, tujuan, manfaat, dan batasan masalah dari rancangan bangun mesin ECG.

### **BAB II DASAR TEORI**

Pada bab ini menjelaskan teori – teori dalam pembuatan mesin ECG seperti prinsip dasar, faktor – faktor utama mesin ECG, perhitungan safety factor poros, roda gigi, bearing.

### **BAB III METODOLOGI**

Pada bab ini menjelaskan urutan proses pengerjaan mesin ECG mulai dari studi literatur, desain mesin, perhitungan perencanaan, perakitan mesin, pengujian mesin, hasil analisa, serta kesimpulan.

### **BAB IV PERENCANAAN DAN PERHITUNGAN**

Pada bab ini berisi tentang perhitungan perencanaan struktur, dan sistem gerak pada mesin ECG.

### **BAB V PEMBUATAN DAN PENGUJIAN**

Pada bab ini berisi proses pembuatan dan pengujian dari mesin ECG yang telah dibuat. Berisi kendala – kendala yang terjadi pada saat pengujian dan kelemahan yang ada pada mesin ECG.

### **BAB VI PENUTUP**

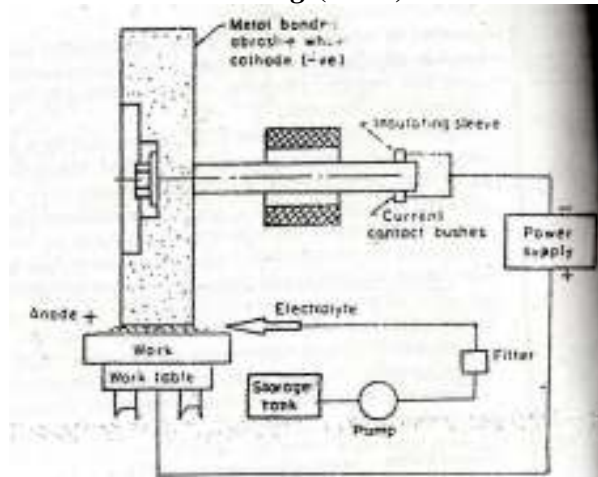
Pada bab ini berisi kesimpulan dari proses pembuatan mesin ECG dan saran untuk pengembangan mesin ECG yang lebih sempurna kedepannya.

*Halaman ini sengaja dikosongkan*

## BAB II

### DASAR TEORI

#### 2.1 Electrochemical Grinding (ECG)



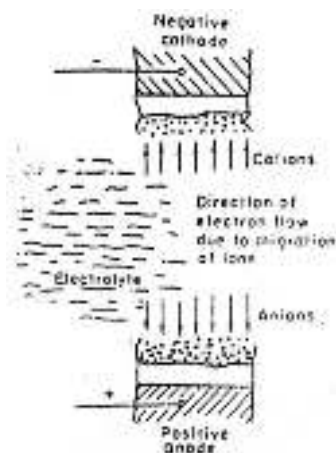
**Gambar 2.1 Skema Proses ECG**  
(3, hal 77 )

Menurut P.C Pandey dan H.S Shan pada buku Modern Machining Processes, Electrochemical Grinding merupakan sebuah proses yang menggunakan batu gerinda dengan partikel abrasif yang digunakan sebagai bahan pengikat konduktor. Daya D.C terhubung ke bagian dan ikatan konduktif batu gerinda sehingga bersifat negatif terhadap komponen batu gerinda. Partikel abrasif memiliki dua fungsi yaitu : (1) insulator antara katoda dan benda kerja, dan (2) membuang hasil elektrolisa benda kerja secara mekanis. Digunakan larutan elektrolit pada tahap Electrochemical Machining. Arus listrik yang digunakan antara  $1-3 \text{ A/mm}^2$ . Dan sebagian besar Metal Removal Rate pada ECG terjadi pada proses elektrolisa dan sekitar 5% proses penggerindaan mekanis. Oleh sebab itu keuasan pahat sangat

kecil, dan benda kerja tetap dingin.

### 2.1.1 Proses ECM

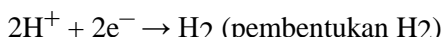
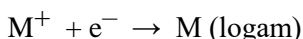
ECM merupakan kebalikan dari *electroplating*. Yaitu saat dua elektroda dengan arus listrik DC ditempatkan pada wadah yang berisi larutan elektrolit maka logam dari anoda akan melapisi katoda. Sehingga pada ECM, *Tool* bertindak sebagai katoda, benda kerja bertindak sebagai anoda.



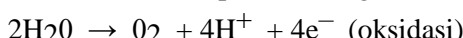
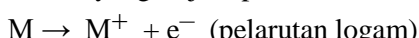
**Gambar 2.2 Lintasan Elektrolit pada ECM  
(3, hal 61)**

Gambar 2.2 menunjukkan elektron mengalir dari benda kerja melewati *power supply* menuju *tool*, sehingga struktur atom pada permukaan benda kerja menjadi kation. Kation akan memisahkan diri dari benda kerja dan bergerak menuju katoda.

Reaksi yang terjadi pada katoda:



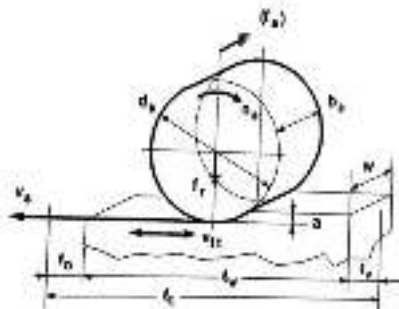
Reaksi yang terjadi pada anoda:





### 2.1.2 Proses Penggerindaan Konvensional

Penggerindaan adalah proses pemisahan logam yang memiliki banyak *cutting edge* karena setiap partikel abrasif bertindak sebagai *cutting edge*. Penggerindaan banyak digunakan untuk pemotongan logam dan *finishing* karena jumlah *cutting edge* yang banyak mengakibatkan hasil pemesinan menjadi lebih halus.

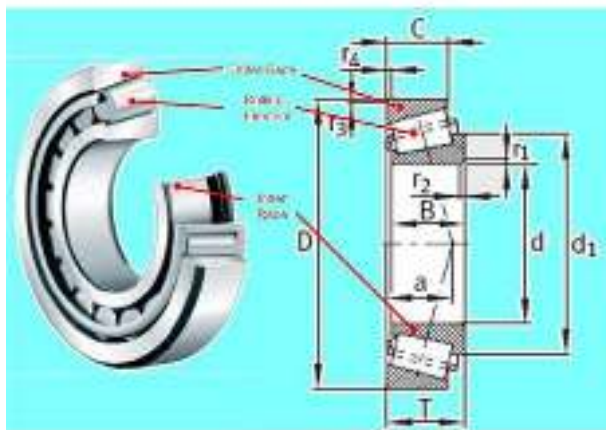


**Gambar 2.3** Skema Penggerindaan  
(5, hal 60)

Gaya yang terjadi pada penggerindaan adalah gaya untuk memutar batu gerinda dan gaya untuk menggerus benda kerja.

### 2.2 Bearing

Bearing atau bantalan adalah elemen mesin yang berfungsi untuk menampung poros, supaya putaran atau gerakan poros dapat berlangsung dengan baik dan aman, juga untuk memperkecil kerugian daya akibat gesekan. Bearing harus kuat dan kokoh untuk menahan gaya yang terjadi pada poros. Jika bearing tidak berfungsi dengan baik maka kerja seluruh sistem akan menurun atau mesin tidak dapat bekerja sebagaimana semestinya. Konstruksi bearing dapat dilihat pada Gambar 2.4.



**Gambar 2.4 Konstruksi Bearing**

(Sumber : <https://www.brighthubengineering.com/machine-design/27400-types-of-bearings-tapered-roller-bearings/>)

### **2.2.1 Klasifikasi Bearing**

Bearing secara garis besarnya dapat dikelompokkan menjadi dua, yaitu : Journal Bearing dan Rolling Bearing.

#### **1. Rolling Bearing (Bantalan Gelinding)**

Pada bearing ini terjadi gesekan gelinding antara bagian yang berputar dengan bagian yang diam pada bearing, bagian yang berputar tersebut adalah : bola, silinder dan jarum, antara poros dan bearing tidak terjadi gesekan.



**Gambar 2.5** Rolling bearing (rolling bearing)  
(Sumber : <http://www.directindustry.com>)



**Gambar 2.6** Radial Ball Bearing  
(Sumber : <http://www.directindustry.com/prod/ntn-snr/product-8884-968763.html>)

### 1.2.1.1 Macam – Macam Rolling Bearing

1. **Radial Ball Bearing (bantalan gelinding bola radial)**
  - Deep Groove Ball Bearing

Semula bearing ini dimaksudkan untuk menahan beban radial, tetapi dengan adanya alur yang dalam, sehingga penempatan bolanya dapat lebih dalam, maka ternyata sanggup juga menerima beban aksial (thrust). Kemampuan menerima beban aksial dapat mencapai 70 % dari beban radialnya.

- Self Aligning Internal dan Self Aligning External Ball Bearing.

Bearing ini mempunyai kemampuan menyesuaikan diri bila terjadi ketidaksesuaian atau ketidaksenteran antara sumbu poros dengan sumbu bearing akibat adanya defleksi poros atau perubahan pondasi.

## 2. **Angular Contact Ball Bearing (bantalan gelinding bola radial kontak menyudut)**

Bearing ini secara umum mempunyai dua kategori yaitu dengan kemampuan menerima beban aksial satu arah saja, dan kemampuan menerima beban aksial dua arah. ( One directional and two directional angular contact ball bearing)

## 3. **Thrust Ball Bearing (bantalan gelinding bola aksial).**

- One directional flat race
- One directional grooved race

### 2.2.2 Prediksi Umur Bearing

#### 2.2.2.1 Gesekan pada rolling bearing

Walaupun rolling bearing disebut bearing anti gesekan (anti friction bearing), tetapi karena adanya beban dan putaran, akan timbul gesekan antara komponen bearing, yaitu : ring luar, bola atau rol, dan ring dalamnya. Koefisien gesek ( $f$ ) dapat dilihat pada tabel 2.1 yang didasarkan atas tipe bearingnya, serta kondisinya, dan koefisien gesek ini dihasilkan yang bertahun-tahun.

Tabel 2.1 Harga rata-rata koefisien gesek pada bearing

No	Tipe Bearing	Start		Selama Berputar	
		Radial	Aksial	Radial	Aksial
1	Ball Bearing	0,0025	0,0060	0,0015	0,0040
2	Spherical Roller Bearing	0,0030	0,1200	0,0018	0,0080
3	Cylindrical Roller Bearing	0,0020	---	0,0011	---

(6, hal 482)

Akibat adanya gesekan ini, akan menyebabkan kehilangan daya, secara, pendekatam kehilangan daya tersebut dapat dihitung dengan rumus : (referensi 6 : 482)

$$f_{HP} = \frac{T_f \cdot n}{63.025} = \frac{f \cdot F_r \cdot d \cdot n}{126.050} \quad (2.1)$$

dimana :  $f_{HP}$  = Daya yang hilang karena gesekan, HP

$T_f$  = Torsi akibat gesekan, lbf.in

$F_r$  = Gaya radial pada bearing, lbf

f = Koefisien gesek (Tabel 1.1)

### 2.2.2.2 Prediksi Umur Bearing

Dengan asumsi putaran konstan, maka prediksi umur bearing (dinyatakan dalam jam) dapat ditulis dengan persamaan :

$$L_{10h} = \left(\frac{C}{P}\right)^b \times \frac{10^6}{60 \cdot n} \quad (2.2)$$

dimana :  $L_{10h}$  = Umur bearing, jam-kerja

C = Beban dinamis (dapat dilihat dari tabel), lbf

n = putaran poros, rpm

P = Beban Ekivalen (eqivalent load)

B = konstanta yang tergantung tipe beban. ( $b=3$  untuk ball bearing dan  $b=3,33$  untuk rolling bearing)

Sesuai dengan definisi dari AFBMA (*Anti Friction Bearing Manufacturers Association*) yang dimaksud dengan beban equivalen adalah beban radial yang konstan yang bekerja pada bearing dengan ring dalam yang berputar/ring dalam yang berputar, yang akan memberikan umur yang sama, seperti bila bearing bekerja dengan kondisi nyata untuk beban dan putaran yang sama.

Dalam kenyataannya bearing biasanya menerima beban kombinasi antara beban radial dan beban aksial, serta pada kondisi ring dalam yang tetap sedangkan ring luarnya yang berputar. Sehingga persamaan beban equivalen (P) setelah adanya koreksi tersebut menjadi :

$$P = V \cdot X \cdot F_r + Y \cdot F_a \quad (2.3)$$

Dimana :

P = beban eqivalen (lbf)

Fr = beban radial (lbf)

Fa = beban aksial (lbf)

V = faktor putaran (konstan) bernilai :

= 1,0 untuk ring dalam berputar

= 1,2 untuk ring luar yang berputar

X = konstanta radial (dari tabel, dapat dilihat pada lampiran)

Y = konstanta aksial (dari tabel, dapat dilihat pada lampiran)

Cara memilih harga X dan Y dapat dilakukan dengan langkah – langkah sebagai berikut

1. Cari terlebih dahulu harga :  $i \cdot Fa / Co$   
 $i$  = jumlah deret bearing

2. Kemudian dari harga ini, ditarik garis ke kanan sampai pada kolom e, sehingga didapat harga e
3. Cari harga :  $F_a/(V.Fr)$ , dan bandingkan dengan harga e, akan diperoleh kemungkinan :  $(F_a/(V.Fr)) < e$  atau  $F_a/(V.Fr) = e$  atau  $F_a/(V.Fr) > e$
4. Dari perbandingan harga tersebut, maka akan didapatkan harga X dan Y dari kolom :  $F_a/(V.Fr) \leq e$  atau  $F_a/(V.Fr) > e$ , khusus untuk untuk deret satu (single row bearing), bila harga  $F_a/(V.Fr) \leq e$ , maka X=1 dan Y=0
5. Dapat dibantu dengan Interpolasi atau Extrapolasi

Bila faktor beban kejut dimasukkan maka persamaan (2.3) akan menjadi :

$$P = F_s (V.X.F_r + Y.F_a) \quad (2.4)$$

Dimana :  $F_s$  = konstanta kondisi beban , dapat dilihat pada tabel di bawah ini.

**Tabel 2.2** Ball bearing service factors,  $F_s$

No	Type of Service	Multiply calculated load by following factors	
		Ball Bearing	Roller Bearing
1	Uniform and steady load	1,0	1,0
2	Light shock load	1,5	1,5
3	Moderate shock load	2,0	2,0
4	Heavy shock load	2,5	2,5
5	Extreme and indefinite shock load	3,0	3,0

(6, hal : 490)

### 2.3 Ulir Penggerak

Ulir penggerak digunakan untuk meneruskan gerakan secara halus dan merata, disamping itu juga untuk menghasilkan gerakan

linier yang berasal dari gerakan rotasi (memutar). Kinematika ulir penggerak sama dengan baut dan mur, bedanya terletak pada bentuk geometrisnya. Ulir penggerak mempunyai geometris yang aplikasinya untuk menghasilkan gerakan oleh karena itu termasuk alat penggerak (*motion device*), sedangkan mur-baut mempunyai geometris yang aplikasinya sebagai pengikat dua bagian benda.

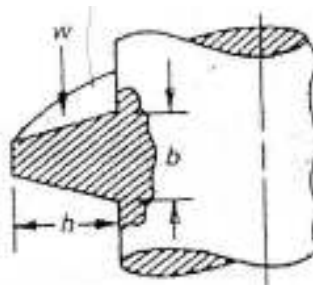
### 2.3.1 Tegangan pada Ulir Penggerak

Apabila ingin mengetahui kekuatan ulir penggerak maka perlu diadakan analisa terlebih dahulu terhadap macam – macam tegangan yang timbul pada ulir penggerak. Tegangan utama yang terjadi pada ulir penggerak di mesin ECG ini adalah :

#### 1. Tegangan Bearing

Tegangan ini timbul antara permukaan ulir dengan permukaan ulir murnya, yang saling berhubungan. Besarnya tegangan bearing ini dapat dirumuskan :

$$\sigma_B = \frac{W}{\pi \cdot d_m \cdot h \cdot n} \quad (2.5)$$



Gambar 2.7 Dimensi dasar ulir penggerak (6)

Dimana :  $\sigma_B$  = Tegangan bearing (psi)

W = beban (lbf)

Dm = diameter rata – rata ulir (in)

h = kedalaman ulir (in)

n = jenis atau jumlah ulir

## 2. Tegangan Bending

Beban W dianggap merata dan bekerja pada diameter rata – rata ( $d_m$ ), yang berjarak 0,5 h dari kaki ulir. Sehingga dapat dianggap bagian yang diarsir pada gambar sebagai suatu batang sentilever yang pendek.

- a. Momen bending maksimum

$$M = \frac{W \cdot h}{2} \quad (2.6)$$

- b. Tegangan Bending

$$\sigma_B = \frac{M \cdot c}{I} \quad (2.7)$$

- c. Momen Inersia

$$I = \frac{1}{12} (\pi \cdot dm \cdot n) b^3 \quad (2.8)$$

- d. Momen Tahanan

$$\frac{I}{c} = \frac{\frac{1}{12} (\pi \cdot dm \cdot n) b^3}{0,5 b} = \frac{(\pi \cdot dm \cdot n) b^2}{6} \quad (2.9)$$

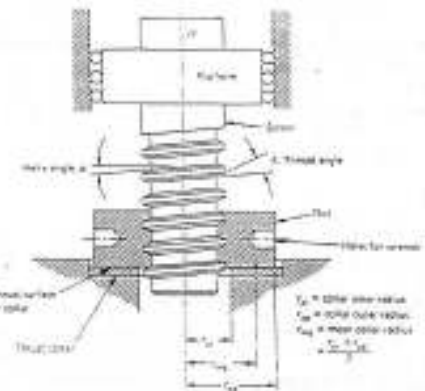
Dari persamaan (2.7) dan (2.9) besarnya tegangan bending maksimum yang terjadi adalah :

$$\begin{aligned} \sigma_B &= \frac{M \cdot c}{I} = \frac{M}{I/c} = \frac{W \cdot 0,5h}{(\pi \cdot dm \cdot n) b^2 / 6} \\ \sigma_B &= \frac{3 \cdot W \cdot h}{(\pi \cdot dm \cdot n) b^2} \end{aligned} \quad (2.10)$$

### 2.3.2 Torsi untuk Ulir Penggerak

Berikut ini adalah contoh ulir penggerak untuk dongkrak (screw jack). Platform bagian atas penyangga beban sebesar W. Plat form ini dibagian pinggirnya terdapat roller yang

menghubungkan dengan dinding sampingnya. Karena menahan beban, plat form dan batang ulirnya tidak dapat berotasi pada sumbunya, tetapi dapat bergeser naik dan turun tanpa gesekan karena ada roller.



**Gambar 2.8** Konstruksi ulir penggerak  
(6, hal : 754)

Bila gaya yang dipergunakan untuk memutar nut adalah  $F$  yang bekerja pada “mean diameter” ( $r_m$ ) untuk melawan beban  $W$  tersebut, maka besarnya torsi yang diperlukan adalah :

$$T_R = F \cdot r_m \quad (2.11)$$

Dimana :  $F = F_f \cos \alpha + F_n \cos \theta_n \sin \alpha$

$$\text{Dan } F_n = \frac{W}{\cos \theta_n \cos \alpha - f_s \sin \alpha} \quad (2.12)$$

Jadi

$$T_R = r_m \cos \alpha + F_n \cos \theta_n \sin \alpha$$

Dimana :  $F_f = f_s \cdot F_n$

$$T_R = r_m(f_s \cdot F_n \cos \alpha + F_n \cos \theta_n \sin \alpha) \quad (2.13)$$

## 2.4 Poros

### 2.4.1 Perhitungan Poros

Poros digunakan sebagai penerus daya dari motor untuk memutar tool. Untuk menghitung diameter poros digunakan persamaan berikut :

$$\frac{0,5 S_{yp}}{S_f} \geq \frac{16}{\pi d^3} \sqrt{M_b^2 + T_p^2} \quad (2.14)$$

Dimana :

$S_{yp}$  = Strength yield point (Kgf/mm<sup>2</sup>)

$d_s$  = diameter poros (mm)

$T_p$  = torsi pada poros (Kgf.mm)

$M_b$  = momen bending pada poros (Kgf.mm)

$S_f$  = Faktor keamanan

Untuk poros direncanakan tidak ada momen bending karena tenaga langsung ditransmisikan melalui spindel motor dengan sumbu sejajar. Maka torsi dapat dihitung dengan persamaan sebagai berikut :

$$T_p = 9,74 \cdot 10^5 \frac{P_d}{n} \quad (2.15)$$

Dimana :

$P_d$  = Daya desain (kW)

### 2.4.2 Daya Desain Poros

Daya desain dapat dihitung dengan persamaan berikut :

$$P_d = P \cdot S_f \quad (2.16)$$

Dimana :

$P$  = Beban daya yang diberikan (kW)

## 2.5 Roda Gigi

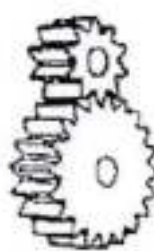
Roda gigi atau sering disebut *gear* merupakan elemen mesin yang dapat mentrasmisikan daya lebih besar, putaran yang lebih tinggi dan tepat bila dibandingkan dengan Belt dan Rantai. Dalam proses pembuatannya, pemasangannya dan perawatannya memerlukan ketelitian yang lebih tinggi.

### 2.5.1 Klasifikasi Roda Gigi

Berikut ini merupakan salah satu klasifikasi roda gigi yaitu :

1. Roda gigi lurus

Roda gigi lurus pada gambar 2.11 berfungsi untuk memberikan daya antara dua poros yang sejajar dengan sebuah perbandingan kecepatan sudut (angular) yang konstan. Roda gigi merupakan roda gigi paling dasar dengan jalur gigi yang sejajar poros, dimana roda gigi ini sejajar dengan poros dengan dua silinder atau bidang jarak bagi dan kedua bidang silinder bersinggungan dan berputar pada roda gigi yang lain dengan sumbu tetap sejajar.



**Gambar 2.9** Roda gigi lurus  
(4, hal 213)

### 2.5.2 Ukuran – ukuran Dasar Roda Gigi

Nama – nama bagian dan ukuran – ukuran yang penting pada *external gear* dapat dilihat pada gambar 2...

1. **Circular pitch** / jarak bagi lingkaran (p) : didefinisikan sebagai jarak gigi yang diukur pada pitch circle, yaitu jarak satu titik pada gigi sampai titik pada gigi berikutnya pada kedudukan yang sama. Circular pitch ini diperlukan agar gigi dalam satu roda gigi mempunyai besar yang sama, sehingga besarnya circular pitch dapat dinyatakan dengan keliling lingkaran dibagi dengan jumlah gigi.

$$p = \frac{\pi \cdot d}{N_t} \quad (2.17)$$

Dimana : d = diameter pitch  
 Nt = jumlah gigi

2. **Diametral Pitch** ( $D_{tp}$ ). Didefinisikan sebagai jumlah gigi ( $N_t$ ) pada roda gigi dibagi dengan diameter pitch circle – nya (d).

$$D_{tp} = \frac{N_t}{d} \quad (2.18)$$

Hubungan antara  $D_{tp}$  dengan p dapat dinyatakan dengan persamaan :

$$p = \frac{\pi \cdot d}{N_t} = \pi \cdot \frac{1}{D_{tp}} = \frac{\pi}{D_{tp}} \quad (2.19)$$

$$\text{Atau } \pi = p \cdot D_{tp}$$

Dimana :  $N_t$  = jumlah gigi  
 $d$  = diameter pitch circle



**Gambar 2.10** Ukuran – ukuran dasar external gear (6)

### 2.5.3 Beban Pada Roda Gigi

Beban atau gaya pada roda gigi dapat diketahui dari besarnya torsi yang ditransmisikan oleh karena itu perlu diketahui terlebih dahulu besarnya torsi. Torsi yang ditransmisikan dari roda gigi (1) ke roda gigi (2) dapat dinyatakan dengan persamaan di bawah ini (*referensi 8 :180*)

$$T = 63.025 \frac{P}{n} \quad (2.20)$$

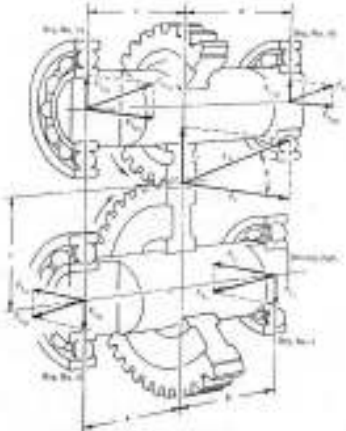
Dimana :  $P$  = daya yang ditransmisikan (HP)  
 $T$  = Torsi yang ditransmisikan (lbf.ft)

Gaya yang bekerja pada pasangan roda gigi adalah gaya normal ( $F_n$ ) Gaya normal ini dapat diuraikan menjadi 2 komponen, yaitu :

$$\text{Gaya Tangensial,} \quad F_t = F_n \cdot \cos \theta$$

$$\text{Gaya Radial, } F_r = F_n \cdot \sin \theta = F_t \cdot \tan \theta$$

Gaya dan torsi yang bekerja tersebut akan diteruskan ke bearing dan poros, seperti terlihat pada gambar di bawah ini.



**Gambar 2.11** Gaya yang terjadi pada gigi diteruskan ke bearing dan poros (6, Hal : 541)

Berikut ini akan diuraikan analisis besarnya tegangan yang terjadi pada gigi. Gigi dapat dipandang sebagai batang terjepit dengan bagian BD yang tetap

#### 2.5.4 Persamaan AGMA

Persamaan AGMA (*American Gear Manufacture*) merupakan modifikasi dari persamaan lewis. Persamaan ini khusus dipakai dalam perencanaan, dalam persamaan ini akan dimasukkan faktor dan faktor koreksi, seperti : faktor dinamis, faktor bentuk, faktor koreksi beban lebih dan sebagainya.

$$\sigma_b = \frac{F_t \cdot K_o \cdot D_{tp} \cdot K_s \cdot K_m}{K_v \cdot b \cdot J} \quad (2.21)$$

Dimana :  $\sigma_b$  = tegangan yang terjadi pada kaki gigi (psi)  
 $F_t$  = Beban atau gaya yang ditransmisikan (lbf)  
 $K_o$  = faktor koreksi beban lebih  
 $K_s$  = faktor koreksi ukuran  
 $K_m$  = koreksi distribusi beban  
 $K_v$  = faktor dinamis  
 $J$  = faktor bentuk/geometri  
 $b$  = lebar gigi (in)  
 $D_{tp}$  = diametral pitch (in<sup>-1</sup>)

Faktor koreksi beban lebih ( $K_o$ ) diberikan karena dalam kenyataannya  $F_t$  adalah beban rata – rata yang ditransmisikan, sedangkan beban maksimumnya bisa dua kali lipat bila terjadi beban kejut (Shock). Besarnya  $K_o$  dapat dilihat pada tabel 2.2

Tabel 2.3 Faktor koreksi beban lebih  $K_o$

Power Source	Load on Driven Machine		
	Uniform	Moderate Shock	Heavy Shock
Uniform	1,00	1,25	1,75 or higher
Moderate Shock	1,25	1,50	2,00 or higher
Heavy Shock	1,50	1,75	2,25 or higher

(6 , hal 555)

Faktor koreksi ukuran  $K_s$  merupakan fungsi dari : ukuran – ukuran gigi. Untuk roda gigi lurus  $K_s$  diberi harga 1 karena ukuran – ukuran gigi dan heat treatment dianggap sesuai.

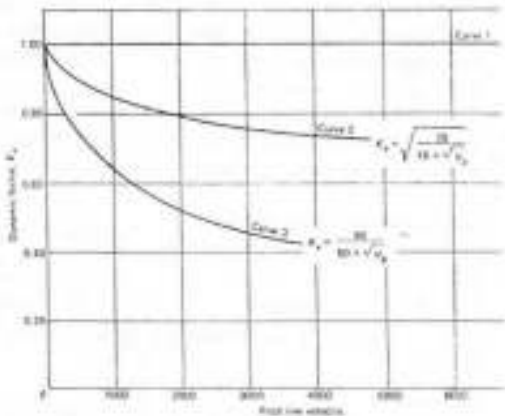
Nilai koreksi distribusi beban ( $K_m$ ) dicari pada tabel 2.3 berdasarkan kondisi dudukan (misal ketidaksenteran) dan lebar gigi maka nilai  $K_m$  dapat ditentukan. Bila kondisi dudukan tidak diketahui maka bisa direncanakan dan diestimasikan.

**Tabel 2.4** Faktor koreksi distribusi beban,  $K_m$ 

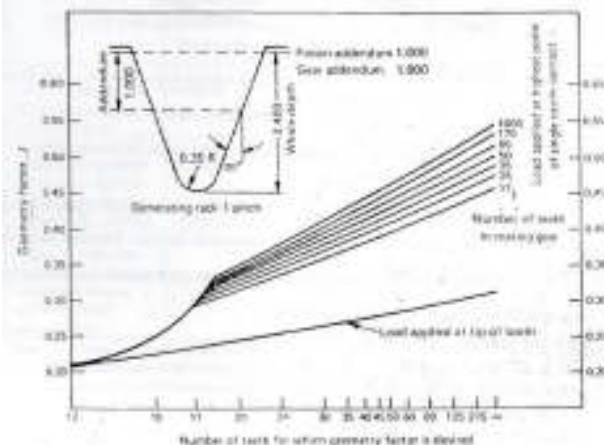
Conditions of Support	Face Width							
	2 in face and under		6 in face		9 in face		16 in face and under	
	Spiral	Helical	Spiral	Helical	Spiral	Helical	Spiral	Helical
Accuracy mounting, low bearing clearance minimum elastic deflection precision gear	1.2	1.2	1.4	1.3	1.5	1.6	1.8	1.7
Low rigid mountings, less accurate gears, contact across full face	1.6	1.3	1.7	1.8	1.8	1.7	2.0	2.0
Accuracy and mounting such that less face contact exists	Over 2.0							

(6 , hal 555)

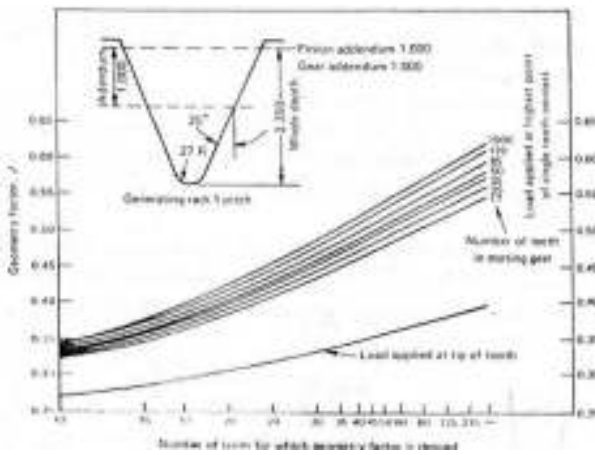
Nilai faktor dinamis ( $K_v$ ) dipengaruhi oleh efek dari jarak gigi dan kesalahan bentuk, efek kecepatan pitch dan putaran permenit inersia dankekakuan dari bagian – bagian yang berputar, besarnya beban yang didistribusikan per inch permukaan kekauan gigi.


**Gambar 2.12** Kurva Faktor dinamis ( $K_v$ )  
(6, hal 556)

Nilai faktor bentuk / geometri (J) dipengaruhi oleh : permukaan gigi, posisi letak beban yang merugikan, konsentrasi tegangan dan beban gesek yang terjadi pada sepasang gigi atau lebih.



**Gambar 2.13** Kurva faktor geometris (J), sudut kontak  $20^\circ$  roda gigi lurus (6, hal 557)



**Gambar 2.14** Kurva faktor geometris (J), sudut kontak  $25^\circ$  roda gigi lurus (6, hal 558)

Selanjutnya persamaan AGMA akan dibandingkan dengan tegangan ijin maksimum perencanaan :

$$|\sigma_b| = \frac{|\sigma_b| K_L}{K_T \cdot K_R} \quad (2.22)$$

Dimana :

$|\sigma_b|$  = tegangan ijin maksimum perencanaan (psi)

$|\sigma_b|$  = tegangan bending fatigue ijin material (psi)

$K_L$  = faktor umur

$K_T$  = faktor temperatur

$K_R$  = faktor keamanan

Tabel 2.5 Tegangan ijin material  $|\sigma_b|$  (6)

Material	Heat Treatment	Min Material Hardness or Min Tensile Strength	Sat, kpsi	
			Spar,Eccentric, Bearing,beam	Revol
Steel	Normalized	140 BHN	19 - 25	11
	Quenched and tempered	180 BHN	25 - 33	14
	Quenched and tempered	300 BHN	36 - 47	19
	Quenched and tempered	420 BHN	44 - 59	25
	Case carburized	55 Rc	55 - 65	27,5
	Case carburized	60 Rc	68 - 70	30
	Induction or flame hardened, hardness Pattern A of footnote 1	54 Rc 54 Rc at Hardness pattern of footnote 1	45 - 55 *	
	Hardness Pattern of footnote 1	Hardness surface	22	13,5
	Machined AISI 4140	53 Rc case ** 180 BHN core	37 - 42 *	20
	AISI 1020	175 BHN	5	2,7
	AISI 1045	280 BHN	8,5	4,6
Nodular Iron			1	1
	ASTM Grade 60-48-18	Annealed	15	8
	ASTM Grade 80-55-06		20	11
	ASTM Grade 100-70-05	Normalized	26	14
Brass	ASTM Grade 120-90-02	Quenched and tempered	30	18,5
	AISI 31 (10% 12% Tin)		40 kpsi	5,5
				3
Aluminum Bronze				
	ASTM B-148-52 Alloy 9C-NLT		90 kpsi	23,6
Note : * Value for teeth & DP and flange				
** For heavy gear these hardness will be lower. hence, lower of allowable stress should be used				

## 2.6 Perhitungan Elemen Mesin

Pada perancangan mesin ECG ada beberapa hal yang perlu dilakukan perhitungan yaitu daya motor penggerak *tool* yang sesuai, dan perhitungan poros sebagai penyambung daya dari spindel ke tool.

### 2.6.1 Daya Penggerak *Metal-Bonded Grinding Wheel*

Daya untuk menggerakkan tool dipengaruhi oleh dua daya yaitu daya untuk menggerakkan batu gerinda itu sendiri dan daya penggerindaan.

$$P_{total} = P_1 + P_2 \quad (2.23)$$

Dimana :

$P_1$  = daya untuk menggerakkan batu gerinda (kW)

$P_2$  = daya penggerindaan (kW)

Daya untuk menggerakkan batu gerinda dapat dihitung dengan persamaan berikut ini :

$$P_1 = T \cdot \omega \quad (2.24)$$

Dimana :

$T$  = Momen torsi (Kg.mm)

$\omega$  = kecepatan sudut (rpm)

Momen torsi dapat dihitung dengan persamaan berikut :

$$T = I \cdot \alpha \quad (2.25)$$

Dimana :

$I$  = Momen inersia ( $\text{Kg.m}^2$ )

$\alpha$  = Percepatan sudut ( $\text{rad/s}^2$ )

Karena tool berbentuk silinder dengan poros sejajar sumbu maka momen inersia dapat dihitung dengan persamaan sebagai berikut :

$$I = \frac{1}{2} \cdot m \cdot r^2 \quad (2.26)$$

Dimana :

m = massa tool (Kg)

r = jari – jari tool (m)

Percepatan sudut dapat dihitung dengan persamaan berikut :

$$\alpha = \frac{\omega - \omega'}{\Delta t} \quad (2.27)$$

Dimana :

$\omega$  = Kecepatan sudut akhir (rad/s)

$\omega'$  = Kecepatan sudut mula (rad/s)

$\Delta t$  = waktu dari keadaan diam hingga berputar (s)

Percepatan sudut dapat dihitung dengan persamaan sebagai berikut :

$$\omega = \frac{2 \cdot \pi \cdot n}{60} \quad (2.28)$$

Daya penggerindaan dapat dihitung dengan persamaan berikut :

$$P_2 = \frac{F \cdot L \cdot \omega}{1000} \quad (2.29)$$

Dimana :

F = gaya penggerindaan (N)

L = Kedalaman potong (mm)

## 2.7 Perhitungan Gerinda Silindris

Penggerindaan dilakukan dengan cara *cylindrical Grinding*, dengan rumus secara matematik, tebal geram ekuivalen ini didefinisikan sebagai berikut :

$$h_{eq} = \frac{Z'}{V_s} \quad (2.30)$$

Dimana :

$h_{eq}$  = tebal geram ekuivalen ( $\mu m$ )

$Z'$  = kecepatan penghasilan geram per lebar aktif batu gerinda ( $\text{mm}^3/\text{s}$ )

$V_s$  = kecepatan periferal (tangensial) batu gerinda (m/s)

Sehingga :

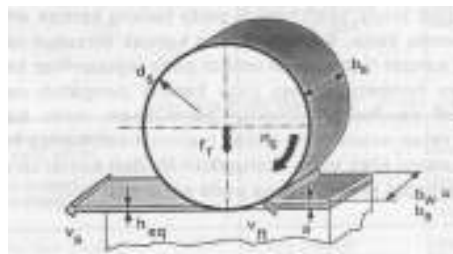
$$h_{eq} = \frac{Z'}{V_s} = \frac{f_r \cdot V_{ft}}{V_s} \quad (2.31)$$

Dimana :

$f_r = a$  = gerak makan radial, kedalaman penggerindaan  
(mm/langkah)

$V_s$  = kecepatan periferal batu gerinda (m/s)

$V_{ft} = V_w$  = kecepatan makan tangensial, kecepatan translasi benda kerja (mm/s)

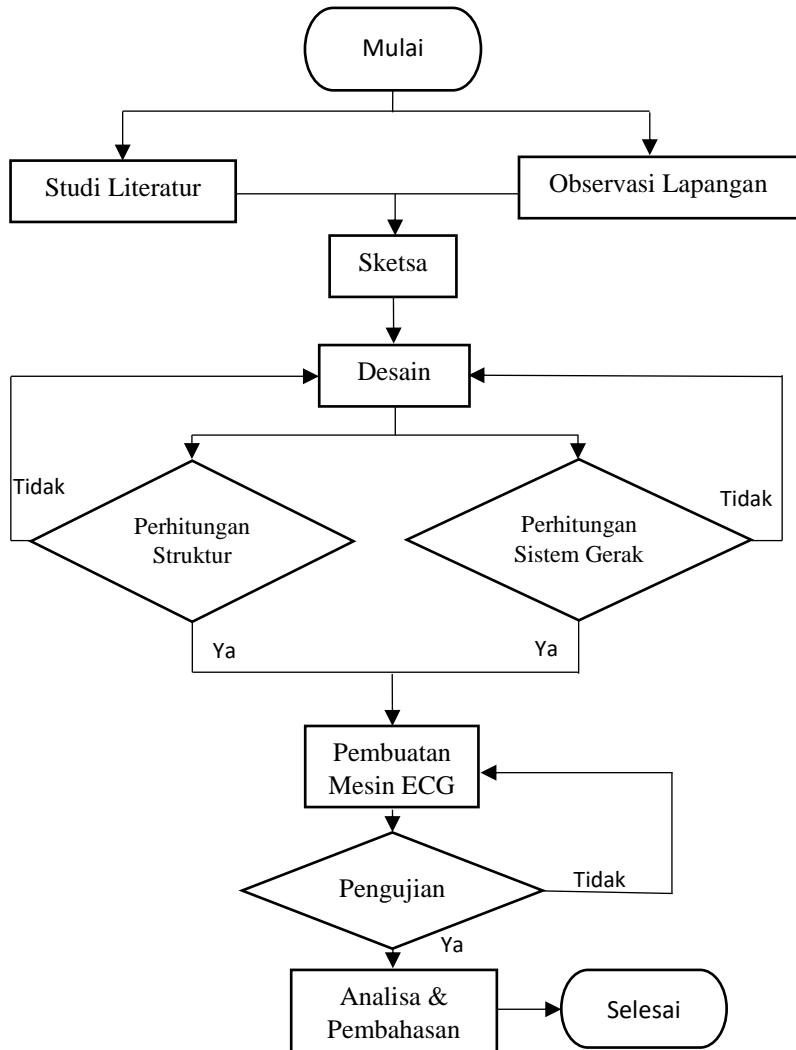


**Gambar 2.15** Proses gerinda silindris pemakanan radial  
( 5, hal 60)

## BAB III

### METODOLOGI

#### 3.1 Diagram Alir Proses Pembuatan Mesin ECG



Gambar 3.1 Diagram Alir Proses Pembuatan Mesin ECG

## **3.2 Tahapan Proses Pembuatan Mesin ECG**

### **1) Studi Literatur**

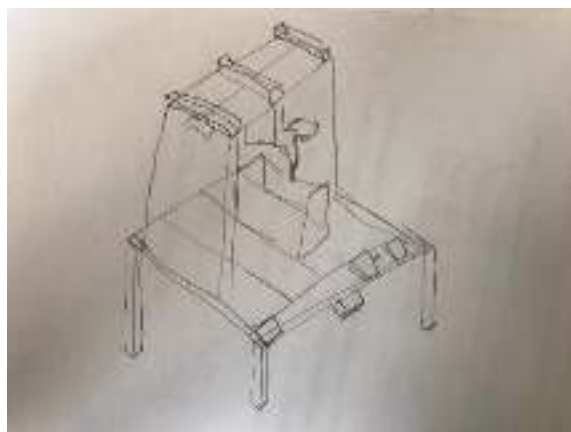
Pada tahap studi literatur ini dilakukan pencarian literasi tentang ECG. Tentang prinsip dasar proses ECG, parameter – parameter yang digunakan pada ECG, variabel – variabel pada mesin ECG, dan permasalahan yang ada pada mesin ECG.

### **2) Observasi Lapangan**

Pada tahap ini dilakukan pengamatan dan pencatatan data – data yang sistematis terhadap mesin ECG yang ada di lab. Pemesinan Non Konvensional D3 Teknik Mesin Industri ITS dan juga pencarian di internet. Pada tahap ini digunakan untuk membandingkan data yang di lapangan dengan yang ada secara teoritis.

### **3) Sketsa**

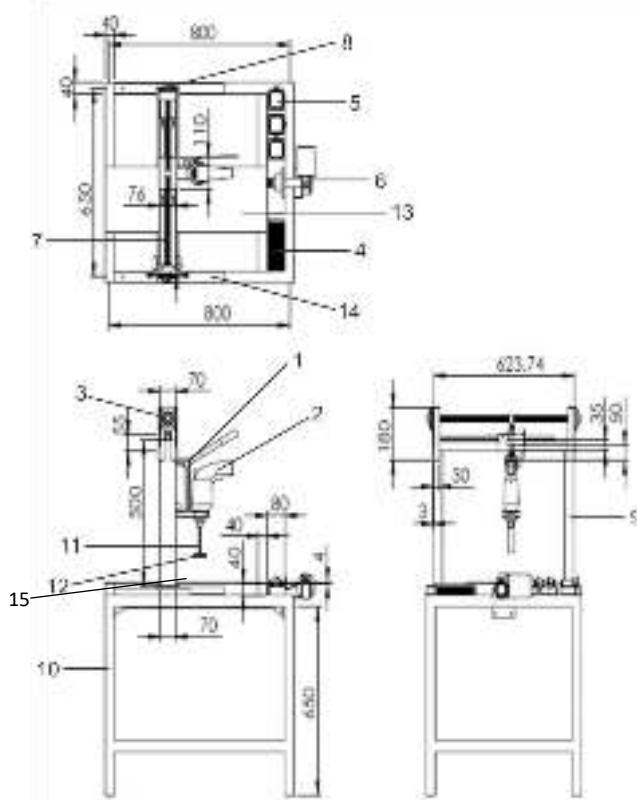
Pada tahap sketsa, sebelum merancang mesin ECG dilakukan terlebih dahulu membuat gambar ringan yang berupa garis – garis pada kertas guna meminimalkan kesalahan pada pembuatan.



**Gambar 3.2 Sketsa Mesin ECG**

#### 4) Desain

Mesin akan didesain dengan kapasitas  $1000 \text{ mm}^3/\text{min}$ . Maka ada beberapa hal yang akan didesain dan dilakukan perhitungan.



**Gambar 3.3 Desain Mesin ECG**

Keterangan :

1. Hand drill stand
2. Hand drill
3. Bearing
4. Power supply 24 volt
5. Saklar

6. Motor DC power windows 24 V bagian bawah
7. Ulir penggerak atas
8. Motor DC power windows 24 v bagian atas
9. Stainless steel
10. Besi holo 4x4 cm
11. Poros
12. *Metal-Bonded Grinding wheel*
13. Plat
14. Rel
15. Ulir penggerak bawah

## 5) Perhitungan Struktur

Pada proses ini akan dihitung semua gaya – gaya yang ada pada titik kritis di bagian benda yang menggantung (*overhang*). Seperti pada gambar di bawah, merupakan bagian yang paling kritis saat menerima beban, dan bagian-bagian elemen mesin.



Gambar 3.4 Kerangka bagian atas

## 6) Perhitungan Sistem Gerak

Pada tahap ini dilakukan perhitungan dalam sistem gerak mesin antara lain sistem gerak mesin pemegang pahat atau tool, sistem gerak meja mesin arah sumbu x dan juga sistem gerak mesin ke arah sumbu y dimana semuanya digerakkan menggunakan motor listrik. Dan setelah proses perhitungan maka akan dilakukan pemilihan motor.

## 7) Pembuatan Mesin ECG

Pada proses ini bahan-bahan dan komponen- komponen untuk membuat mesin ECG dikumpulkan sesuai dengan desain

yang telah dibuat dan dihitung. Setelah terkumpul sesuai dengan desain bahan-bahan dan komponen-komponen dilakukan asembly dan dicoba untuk di running untuk mengecek apakah komponen-komponen dan bahan-bahan bekerja sesuai fungsinya.

## 7.1 Komponen – Komponen Pembuatan Mesin ECG

Pada bab ini dibahas komponen – komponen apa saja yang digunakan untuk membuat mesin ECG.

### 7.1.1 Aquarium



**Gambar 3.5** Aquarium akrilik bekas

Aquarium ini digunakan sebagai wadah atau penampungan larutan elektrolit agar tidak menyebar kemana – mana. Dan di dalamnya dipasang ragum dan merupakan salah satu komponen yang ada di laboratorium PNK D3 Teknik Mesin Industri ITS.

### 7.1.2 Metal-Bonded Grinding Wheel



**Gambar 3.6** Metal-Bonded Grinding Wheel tampak atas



**Gambar 3.7** Metal-Bonded Grinding Wheel tampak samping

Tool atau pahat yang digunakan adalah *metal-bonded grinding wheel* dengan diameter 100 mm dengan tipe 12A2 dengan 24 segmen pada partikel abrasifnya. Tipe 12A2 biasanya digunakan untuk *surface grinding* dan *cylindrical grinding* atau pembuatan dimensi yang presisi.

### 7.1.3 Poros



**Gambar 3.8** Poros

Poros yang digunakan adalah poros ulir M 16, karena menyesuaikan lubang tengah pada tool atau pahat. Salah satu sisinya dilakukan pengurangan dimensi menjadi 10 mm untuk mempermudah pencekaman oleh spindel pada motor. Di tengah poros terdapat bearing untuk mempermudah mengalirkan arus listrik dari mesin las portable menuju pahat.

### 7.1.4 Larutan Elektrolit



**Gambar 3.9** Larutan Elektrolit NaOH

Larutan Elektrolit yang digunakan dalam percobaan yaitu larutan NaOH.

### **7.1.5 Pompa**



**Gambar 3.10 Pompa air mini**

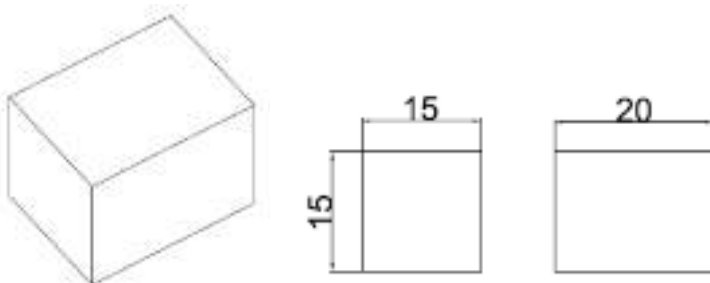
Pompa digunakan untuk menyemprotkan larutan elektrolit menuju celah antara tool dan benda kerja. Pompa yang digunakan memiliki tipe HL-881 dengan kapasitas 1000 l/h dan head 1 m.

### **7.1.6 Benda Kerja**



**Gambar 3.11 Benda kerja**

Benda kerja yang digunakan adalah aluminium. Digunakan aluminium karena lebih lunak daripada besi atau baja dan lebih mudah dilakukan proses pemesinan sehingga hasil pemesinannya mudah diamati.



**Gambar 3.12** Dimensi benda kerja

### 7.1.7 Power Supply



**Gambar 3.13** Power Supply 24 v

Power Supply yang digunakan adalah power supply dengan tegangan maksimum 24 volt. Karena motor penggerak meja dan penggerak tool yang digunakan memiliki tegangan sebesar 24 volt.

### **7.1.8 Motor Penggerak Poros**



**Gambar 3.14 Drill tangan**

Menurut perhitungan dibutuhkan motor penggerak dengan daya minimal 0,229 HP. Motor penggerak yang digunakan adalah mesin drill tangan dengan putaran maksimum mencapai 3000 rpm. Dan diletakkan pada hand stand drill.

### **7.1.9 Roda Gigi**



**Gambar 3.15 Roda Gigi**

Roda gigi ini pada gearnya memiliki jumlah gigi sebanyak 8, sedangkan untuk pinionnya memiliki jumlah gigi sebanyak 12.

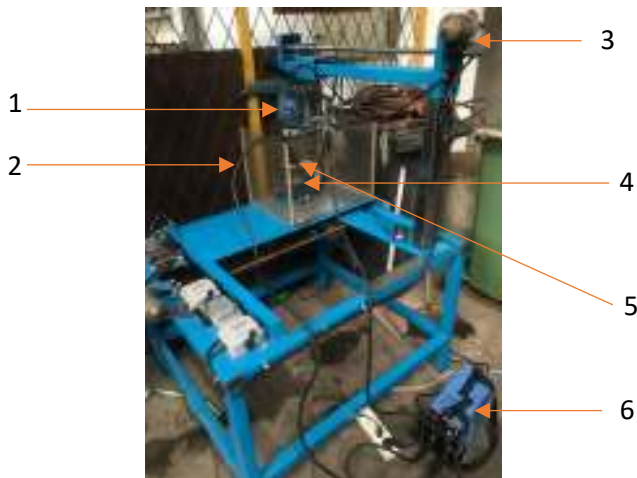
### 7.1.10 Motor DC



**Gambar 3.16 Motor DC**

Motor DC ini menggunakan motor power windows mobil dengan tegangan 24 volt dan memiliki putaran sebesar 100 rpm.

### 1.2 Assemбли Mesin ECG



**Gambar 3.17 Asemblili Mesin ECG**

Keterangan :

- |               |                       |
|---------------|-----------------------|
| 1. Hand drill | 4. Ragum              |
| 2. Akuarium   | 5. Mata Gerinda       |
| 3. Motor DC   | 6. Mesin las portable |

### **7.2.1 Proses Pembuatan mesin ECG**

Cara pembuatan alat ECG ini adalah sebagai berikut :

1. Potong besi hollow Stainless Steel 8x4 ukuran 82 cm menjadi 2 bagian dengan gerinda tangan. Lalu potong plat menjadi 2. Pertama ukuran 57 cm x 12 cm digunakan sebagai penyangga hand drill. Kedua 135cm x 30cm sebagai alas akuarium



**Gambar 3.18** Pemotongan Plat

2. Kemudian Potong besi hollow 4x4 dengan panjang 72 cm sebanyak 2 buah, dan yang satunya panjang 69 cm sebanyak 4 buah. Lalu dilas. Dan jadilah kerangka bagian atas
3. Satukan kerangka penyangga atas dengan rel menggunakan sekrup.
4. Buatlah plat dudukan dengan ukuran 8,5cm x 8,5cm untuk pillow block (bearing) menggunakan sisa plat tadi. Kemudian satukan menggunakan baut M10.
5. Pasang ulir penggerak M 16 pada bearing (pilowblock) dan dudukannya tadi.
6. Kemudian masukkan ke dalam lubang yang telah dibuat pada kerangka bawah. Setelah pas kemudian lakukan

pengelasan. Kemudian satukan kerangka bawah dengan kerangka penyangga atas dengan sekrup pada bagian relnya. Seperti pada gambar dibawah yang ditandai lingkaran merah.



**Gambar 3.19** Penyangga Mesin

7. Pada bagian frame atas pasang rel ukuran 35 cm untuk lintasan gerak batu gerinda ke arah sumbu y.



**Gambar 3.20** Rel

8. Untuk sistem penggerak pada bagian atas untuk dudukan bearing dengan menggunakan plat siku.



**Gambar 3.21** Plat Siku



**Gambar 3.22** Bearing (pillow block)

9. Potong plat siku membentuk dimensi yang sesuai penyangga atas dengan panjang 18cm dan lebar 8cm. Kemudian satukan dengan baut dan mur diameter 10mm.



**Gambar 3.23** Membuat dudukan bearing

10. Setelah itu, pasang ulir penggerak pada pillow block (bearing). Jangan lupa memasang mur pada ulir.



**Gambar 3.24** Ulir penggerak

11. Potong Plat untuk tempat menempelnya dudukan hand drill dengan ukuran 10,5cm x 15cm. Agar mengurangi getaran dan agar hand drill tidak goyang saat bergerak maka plat dipasang bearing dengan diameter 8mm.
12. Dudukan mesin bor dipasang pada kerangka tadi dengan proses dilas.

- Untuk menyambung frame atas ataupun bawah dengan ulir maka baut yang tadi berada di tengah ulir dilas pada plat



**Gambar 3.25** Sambungan kerangka atas dan Ulir

- Dengan membuat tempat pada bagian atas dan juga dipasang kaki – kaki di bagian bawah untuk penopang mesin.



**Gambar 3.26** Pemasangan kaki mesin

- Pada bagian akhir, dilakukan finishing alat dengan proses penggecatan pada seluruh kerangka mesin.

## 8) Pengujian

Pengujian mesin dilakukan dengan cara plunge grinding. Pertama dilakukan proses penggerindaan konvensional selama kurang lebih 1 menit. Kemudian dilakukan pengukuran dimensi untuk mendapatkan kedalaman makan.

## **9) Analisa dan Pembahasan**

Pada tahap ini data yang diperoleh dari pengujian mesin ECG dilakukan analisa dan pembahasan untuk mendapatkan MRR dari proses penggerindan konvensional.

*Halaman Ini Sengaja Dikosongkan*

## BAB IV

### PERENCANAAN DAN PENGUJIAN

#### 4.1 Perhitungan Struktur

Berikut ini adalah bagian yang paling banyak terkena gaya atau bagian yang paling kritis menerima beban pada saat dilakukan proses pemesinan.



**Gambar 4.1** Desain kerangka atas

Dari gambar 4.1 dapat dihitung gaya – gaya yang terjadi  
Diketahui :  $N = 300 \text{ W} = 0,402 \text{ HP}$  (motor gerak meja)

$$n = 100 \text{ rpm}$$

$$\text{sudut kontak} = 20^\circ$$

$$d = 16 \text{ mm}$$

$$m_{\text{rangka}} = 11 \text{ kg}$$

$$m_{\text{bor}} = 5 \text{ kg}$$

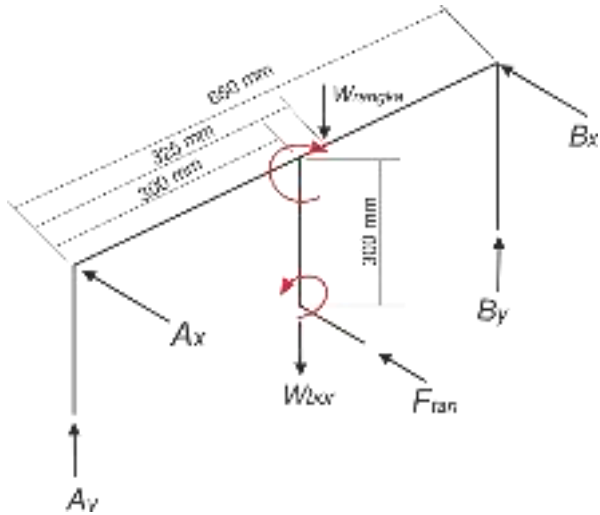
$$W_{\text{rangka}} = m \times g$$

$$= 11 \text{ kg} \times 9,81 \frac{\text{m}}{\text{s}^2} = 107,91 \text{ N}$$

$$W_{\text{bor}} = m \times g$$

$$= 5 \text{ kg} \times 9,81 \frac{\text{m}}{\text{s}^2} = 49,05 \text{ N}$$

Di bawah ini merupakan *free body diagram* dari kerangka bagian atas dari mesin ECG :



**Gambar 4.2** Free Body Diagram

Menghitung torsi :

$$T = 71620 \frac{N}{n}$$

$$T = 71620 \frac{0.402}{100}$$

$$T = 71620 \frac{0.402}{100}$$

$$T = 289,912 \text{ kgf.cm}$$

Mencari Nilai F tan (gaya makan) :

Konversi daya = 0,402 HP x 396000 = 159192 in.lb/min

$$Power = T \omega$$

$$159192 = F_c \left( \frac{D}{2} \right) (2\pi)(100)$$

$$159192 = F_c \left( \frac{100}{2} \right) (2\pi)(100)$$

$$F_c = \frac{159192}{(50)(2\pi)(100)}$$

$$F_c = 5,067 \text{ lbf}$$

$F_{tan}$  merupakan 30% dari  $F_c$ , jadi :

$$\begin{aligned} F_{tan} &= 1,3 \times 5,067 = 6,587 \text{ lbf} = 2,986 \text{ kgf} \times 9,81 \text{ m/s}^2 \\ &= 29,292 \text{ N} \end{aligned}$$

### Menghitung momen bending :

Reaksi tumpuan :

A. Arah horizontal :

$$\begin{aligned} \rightarrow +\sum M_A &= 0 \\ W_{rangka} \cdot 300 \text{ mm} &= 650 \text{ mm} \cdot B_x \\ B_x &= \frac{107,91 \text{ N} \cdot 325 \text{ mm}}{650 \text{ mm}} \\ B_x &= 53,955 \text{ N} \end{aligned}$$

$$\begin{aligned} \uparrow + \sum F_x &= 0 \\ A_x + B_x + F_{tan} &= 0 \\ A_x &= -B_x - F_{tan} \\ A_x &= -53,955 \text{ N} - 29,292 \text{ N} \\ A_x &= -83,247 \text{ N} \end{aligned}$$

B. Arah Vertikal

$$\begin{aligned} \uparrow +\sum M_A &= 0 \\ -B_y \cdot 650 \text{ mm} - W_{bor} \cdot 300 \text{ mm} + W_{rangka} \cdot 325 \text{ mm} &= 0 \\ -B_y &= \frac{49,05 \text{ N} \cdot 300 \text{ mm} - 107,51 \text{ N} \cdot 325 \text{ mm}}{650 \text{ mm}} \\ -B_y &= -31,116 \text{ N} \end{aligned}$$

$$B_y = 31,116 \text{ N}$$

$$\uparrow + \sum F_y = 0$$

$$A_y + B_y = W_{bor} + W_{rangka}$$

$$A_y + 31,116 \text{ N} = 49,05 \text{ N} + 107,51 \text{ N}$$

$$A_y = 125,444 \text{ N}$$

### Momen Terbesar

$$M_B = \sqrt{(M_h)^2 + (M_v)^2}$$

$$M_B = \sqrt{(53,955)^2 + (125,444)^2}$$

$$M_B = \sqrt{2911,142 + 15736,197}$$

$$M_B = 136,55 \text{ N.mm}$$

#### 4.1.1 Perhitungan Bantalan

Bearing yang di pakai dalam rancangan ini adalah Single Row Deep Grove Ball Bearing. Dan dari analisa dan perhitungan pada bagian sebelumnya diperoleh data-data sebagai berikut :

1. Diameter poros (Dp) : 16 mm
2. n (putaran motor penggerak meja) : 100 rpm
3. f (koefisien gesek) : 0,0015
4. Fr : 434,295 lbf
5. Fa : 3 N = 0,674 lbf

Fa diperoleh dari gaya pemakanan pada sistem gerak

Bantalan menerima beban yang berkombinasi antara beban radial ( $F_r$ ) dan beban axial ( $F_a$ ) karena tipe bantalan yang dipilih adalah *single row deep groove ball bearing* maka:

$$\frac{i \cdot F_a}{C_o} = \frac{1 \cdot 0,674}{1470} = 0,000458$$

Didapat e = 0,19

Akibat adanya gesekan pada bearing dapat menyebabkan kehilangan daya, maka dapat dihitung menggunakan persamaan (2.1) :

Diketahui :

$$f = 0,0015 \text{ (dilihat pada tabel 2.1)}$$

$$F_r = 125,444 \text{ N} = 28,2 \text{ lbf}$$

$$d = 16 \text{ mm} = 0,6304 \text{ in}$$

$$n = 100 \text{ rpm}$$

$$F_{HP} = \frac{f \cdot F_r \cdot d_n}{126.056}$$

$$F_{HP} = \frac{0,0015 \cdot 28,2 \text{ lbf} \cdot 0,6304 \text{ in} \cdot 100 \text{ rpm}}{126.056}$$

$$F_{HP} = 0,021 \text{ HP}$$

#### 4.1.1.1 Prediksi Umur Bearing

Dengan asumsi putaran konstan, maka prediksi umur bearing dinyatakan dalam jam dapat dihitung menggunakan persamaan (2.2) :

$$L_{10h} = \left(\frac{C}{P}\right)^b \times \frac{10^6}{60 \cdot n}$$

Mencari nilai P menggunakan persamaan (2.3) :

Nilai X dan Y dapat dicari pada lampiran (1)

Didapat harga e pada lampiran (1) yaitu = 0,19

Lalu dicari  $\frac{F_a}{V \cdot F_r} > e$

$$\frac{0,674}{1 \cdot 28,2} > 0,19$$

$$0,0015 < 0,19$$

maka didapat X dan Y. Karena  $(F_a/(V.Fr)) < e$  dan deret bearing adalah single row maka sesuai dasar teori :

Diperoleh :  $X = 1$  dan  $Y = 0$

Nilai  $V = 1$  ; karena ring dalam berputar

Beban Ekivalen :

$$P = V \cdot X \cdot F_r + Y \cdot F_a$$

$$P = 1 \cdot 0,56 \cdot 28,2 + 0 \cdot 0,674$$

$$P = 15,792 \text{ lbf}$$

Setelah diketahui nilai P maka masuk ke rumus :

Untuk nilai C dan P dapat dilihat pada lampiran (2)

$$L_{10h} = \left(\frac{C}{P}\right)^b \times \frac{10^6}{60 \cdot n}$$

$$L_{10h} = \left(\frac{2340}{15,792}\right)^3 \times \frac{10^6}{60 \cdot 100}$$

$$L_{10h} = 3253390 \times 166,67$$

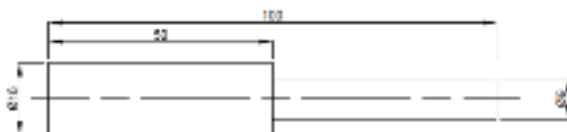
$$L_{10h} = 5.422.425.598 \text{ Jam Kerja}$$

## 4.2 Perhitungan Sistem Gerak

Berikut ini merupakan perencanaan dalam proses sistem gerak mesin ECG :

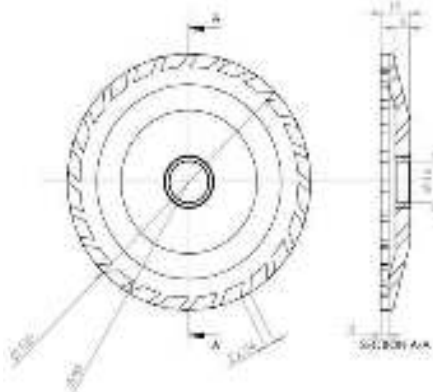
### 4.2.1 Perhitungan Daya Penggerak *Metal-Bonded Grinding Wheel*

Data – data yang diketahui :



**Gambar 4.3** Dimensi poros metal-bonded grinding wheel

Massa Poros = 309 g



**Gambar 4.4** Dimensi metal-bonded grinding wheel

Massa *metal-bonded grinding wheel* = 120 g

Massa tool = 305 g = 0,305 Kg

$\Delta t$  = 0,5 s

Momen inersia =

$$I = \frac{1}{2} \cdot m \cdot r^2$$

$$I = \frac{1}{2} \cdot 0,305 \text{ Kg} \cdot 0,045^2$$

$$I = 0,0003088125 \text{ Kgm}^2$$

Maka kecepatan sudut =

$$\omega = \frac{2 \cdot \pi \cdot n}{60}$$

$$\omega = \frac{2 \cdot \pi \cdot 3000}{60}$$

$$\omega = 314,159 \text{ rad/s}$$

Sehingga percepatan sudut =

$$\alpha = \frac{\omega - \omega_0}{\Delta t}$$

$$\alpha = \frac{314,159 \text{ rad/s}}{0,5 \text{ s}}$$

$$\alpha = 628,318 \text{ rad/s}^2$$

Dapat diperoleh torsi =

$$T = I \cdot \alpha$$

$$T = 0,0003088125 \text{ Kgm}^2 \cdot 628,318 \text{ rad/s}^2$$

$$T = 0,194032 \text{ Nm}$$

Daya penggerak tool tanpa proses machining :

$$P_1 = T \cdot \omega$$

$$P_1 = 0,194032 \text{ Nm} \cdot 314,159 \text{ rad/s}$$

$P_1 = 60,956 \text{ W} \longrightarrow$  Daya tanpa proses machining

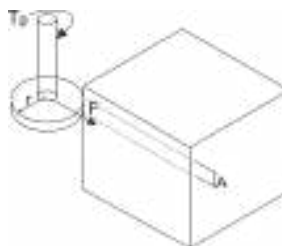
$$P_1 = 0,060956 \text{ kW}$$

Saat proses machining :

*Strength yield point alumunium* adalah 30 Mpa dilihat dari dari sumber *Material Data Book, Cambridge University Engineering Department.*

Maka :

$$\sigma_{max} = \frac{F}{A}$$



**Gambar 4.5** Arah gaya makan

Dimana :

$$\begin{aligned}\sigma_{max} &= 30 \text{ MPa} \\ A = s \cdot b_s &= 10 \text{ mm} \cdot 10 \text{ mm} \\ &= 100 \text{ mm}^2 = 0,0001 \text{ m}^2\end{aligned}$$

Sehingga :

$$\begin{aligned}F &= \sigma_{max} \cdot A \\ F &= 30 \text{ MPa} \cdot 0,0001 \text{ m}^2 \\ F &= 3 \text{ N}\end{aligned}$$

Jadi daya penggerindaan :

$$\begin{aligned}P_2 &= \frac{F \cdot L \cdot \omega}{1000} \\ P_2 &= \frac{3 \text{ N} \cdot 0,009 \text{ m} \cdot 314,159 \text{ rpm}}{1000} \\ P_2 &= 0,00848 \text{ W}\end{aligned}$$

$$\begin{aligned}P_{total} &= P_1 + P_2 \\ P_{total} &= 60,956 \text{ W} + 0,00848 \text{ W} \\ P_{total} &= 60,96448 \text{ W} = 0,081 \text{ HP}\end{aligned}$$

Sehingga daya motor minimal yang harus dibutuhkan adalah 0,09311 HP.

#### 4.2.2 Perhitungan Poros

Skema tegangan torsi yang terjadi pada poros *metal-bonded grinding wheel*



**Gambar 4.6** Skema tegangan torsi pada poros

Data – data yang diketahui :

Bahan yang digunakan adalah baja ST 42

$$S_{yp} = 42 \text{ kgf/mm}^2$$

$$P_{total} = 0,069438 \text{ kW}$$

$$S_f = 1 \text{ (untuk beban ringan)}$$

$$N \text{ (motor drill)} = 250 \text{ watt} = 0,335 \text{ HP}$$

$$k_s = 0,5 \text{ (faktor koreksi)}$$

$$F = 3 \text{ N} = 0,305 \text{ kgf}$$

Momen Torsi yang terjadi :

$$T_p = 9,74 \cdot 10^5 \cdot \frac{P_d}{n}$$

$$T_p = 9,74 \cdot 10^5 \cdot \frac{0,069438 \text{ kW}}{3000 \text{ rpm}}$$

$$T_p = 22,544 \text{ Kgf.mm}$$

Momen Bending :

$$M_b = F \times r$$

$$M_b = 0,305 \text{ kgf} \times 50 \text{ mm}$$

$$M_b = 15,25 \text{ kgf.mm}$$

Maka diameter minimum poros :

$$\frac{0,5 S_{yp}}{S_f} \geq \frac{16}{\pi d^3} \sqrt{M_b^2 + T_p^2}$$

$$\begin{aligned}\frac{0,5 \cdot 42}{1} &\geq \frac{16}{\pi d^3} \sqrt{15,25^2 + 22,544^2} \\ \frac{0,5 \cdot 42}{1} &\geq \frac{16}{\pi d^3} \sqrt{740,794} \\ d &\geq \sqrt[3]{\frac{16 \times 740,794}{\pi \times 0,5 \times 42}} \\ d &\geq 5,642 \text{ mm}\end{aligned}$$

Jadi diameter minimum poros yang dibutuhkan adalah 5,642 mm, namun digunakan poros dengan diameter 16 mm karena lubang pada *metal-bonded grinding wheel* memiliki ukuran sekitar 16 mm.

### a. Gaya yang Terjadi pada Ulir

Maka gaya yang terjadi pada ulir dapat dihitung dengan persamaan berikut :

Tegangan tarik :

$$\sigma_t = \frac{W}{\left(\frac{\pi}{4}\right) d_1^2}$$

Dimana :

$W$  = massa x gravitasi (Kgf)

$d_1$  = diameter inti ulir

$$\begin{aligned}\sigma_t &= \frac{0,12 \times 9,81}{\left(\frac{\pi}{4}\right) \times (13,835^2)} \\ \sigma_t &= \frac{1,177}{150,331} \\ \sigma_t &= 7,829 \times 10^{-3} \text{ Kgf/mm}^2\end{aligned}$$

### b. Tekanan kontak pada permukaan ulir

$$q = \frac{W}{\pi d_2 h z}$$

Dimana :

$d_2$  = diameter efektif ulir

$h$  = tinggi profil

$z$  = jumlah ulir

$$z = \frac{H}{p}$$

$$z = \frac{12,8}{2}$$

$$z = 6,4$$

Dimana :

$H$  = tinggi mur

$$h = \frac{d - d_1}{2}$$

$$h = \frac{16 - 13,835}{2}$$

$$h = 1,083$$

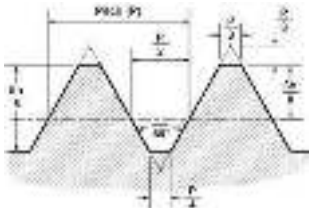
Maka :

$$q = \frac{1,177}{\pi \times 14,701 \times 1,083 \times 6,4}$$

$$q = 3,677 \times 10^{-3} \text{ Kgf/mm}^2$$

#### 4.2.3 Perhitungan Ulir Penggerak

Direncanakan kapasitas mesin sebesar  $1000 \text{ mm}^3/\text{min}$  maka ulir ditentukan sebagai berikut :



**Gambar 4.7 Ular segitiga**

Diketahui :  $W = 12 \text{ kgf} = 26,455 \text{ lbf}$

W didapat menggunakan neraca pegas.

$$p = 2 \text{ mm}$$

$$d_m = 16 \text{ mm} = 0,6304 \text{ in}$$

$$n = 2$$

h = menggunakan rumus

$$h = 0,86603 \cdot P$$

$$h = 0,86603 \cdot 2$$

$$h = 1,73206 \text{ mm} = 0,068 \text{ in}$$

- a. Tegangan Bearing

$$\sigma_B = \frac{W}{\pi \cdot d_m \cdot h \cdot n}$$

$$= \frac{26,455 \text{ lbf}}{\pi \cdot 0,6304 \cdot 0,068 \cdot 2}$$

$$= 98,22 \text{ Psi}$$

- b. Tegangan Bending Maksimum

Diketahui :  $h = 1,73206 \text{ mm}$

$$n = 2$$

$$dm = 16 \text{ mm} = 0,629 \text{ in}$$

$$b = 2$$

Momen Bending :

$$M = \frac{W \cdot h}{2}$$
$$= \frac{26,455 \text{ lbf} \cdot 0,068 \text{ in}}{2}$$
$$= 0,899 \text{ lbf.in}$$

$$\sigma_B = \frac{3 \cdot W \cdot h}{(\pi \cdot dm \cdot n) b^2}$$
$$\sigma_B = \frac{3 \cdot 26,455 \cdot 0,068}{(\pi \cdot 0,629 \cdot 2) \cdot 2^2}$$
$$\sigma_B = 0,341 \text{ Psi}$$

Ular penggerak memiliki kecepatan dengan rumus :

$$V = n_{motor} \cdot p$$
$$= 100 \text{ rpm} \cdot 2 \text{ mm}$$
$$= 200 \text{ mm/min}$$

#### 4.2.4 Perhitungan Roda Gigi

Perhitungan roda gigi dapat menggunakan rumus AGMA yaitu :

Diketahui :

$$\Delta t = 0,2 \text{ s}$$
$$d = 18,8 \text{ mm}$$
$$m = 0,2 \text{ kg}$$
$$n = 100 \text{ rpm}$$

Untuk mencari torsi maka harus diketahui Momen Inersia dan percepatan sudutnya. Maka dapat dihitung :

$$\omega = \frac{2 \cdot \pi \cdot n}{60}$$

$$= \frac{2 \cdot \pi \cdot 100}{60} \\ = 10,471 \text{ rad/s}$$

$$I = \frac{1}{2} m r^2 \\ I = \frac{1}{2} 0,2 \text{ kg} \cdot 0,0094^2 \text{ m} \\ = 0,00002209 \text{ kgm}$$

Percepatan sudut dapat dicari dengan persamaan

$$\alpha = \frac{\omega - \omega'}{\Delta t} \\ \alpha = \frac{10,471 - 0}{0,2} \\ \alpha = 52,359 \text{ rad/s}^2$$

$$T = I \cdot \alpha$$

$$T = 0,00002209 \text{ kgm} \cdot 52,359 \text{ rad/s}^2$$

$$T = 0,00115 \text{ Nm}$$

Jadi daya dapat dihitung :

$$P = T \cdot \omega$$

$$P = 0,00115 \text{ Nm} \cdot 10,471 \text{ rad/s}$$

$$P = 0,012 \text{ HP}$$

Kemudian menghitung dengan Persamaan AGMA :

$$\sigma_b = \frac{F_t \cdot K_o \cdot D_{tp} \cdot K_s \cdot K_m}{K_v \cdot b \cdot J}$$

$$\text{Mencari nilai Ft : } F_t = \frac{T}{r}$$

$$T = 63.000 \frac{N}{n}$$

$$T = 63.000 \frac{0,012 \text{ HP}}{100 \text{ rpm}}$$

$$T = 7,55 \text{ lbf}$$

$$F_t = \frac{T}{r}$$

$$F_t = \frac{7,55 \text{ lbf}}{3,70079 \text{ in}}$$

$$F_t = 2,04 \text{ N}$$

Mencari  $K_o$  = ditentukan pada tabel (2.3) asumsi beban kejut uniform jadi  $K_o = 1$

Mencari nilai  $D_{tp}$  yaitu :

$$D_{tp} = \frac{N_t}{d}$$

$$D_{tp} = \frac{8}{14}$$

$$D_{tp} = 0,571$$

Nilai  $K_s = 1$ , karena tipe roda gigi lurus

Menentukan nilai  $K_m$  = dilihat pada tabel (2.4) diperoleh nilai 1,3

Menentukan nilai  $K_v$  dengan rumus sebagai berikut :

$$V_p = \frac{\pi \cdot d \cdot n}{12}$$

$$V_p = \frac{\pi \cdot 18,8 \cdot 100}{12}$$

$$V_p = 5906,19$$

Maka nilai  $K_v$  adalah

$$K_v = \frac{50}{50 + \sqrt{V_p}}$$

$$K_v = \frac{50}{50 + \sqrt{5906,19}}$$

$$K_v = \frac{50}{126,85}$$

$$K_v = 0,394$$

Nilai b dilihat pada gambar grafik (2.13) = 4 mm

Dan nilai J juga dapat ditentukan pada gambar grafik (2.13) = 0,34

Jadi persamaan AGMA :

$$\sigma_b = \frac{F_t \cdot K_o \cdot D_{tp} \cdot K_s \cdot K_m}{K_v \cdot b \cdot J}$$

$$\sigma_b = \frac{2,04 \cdot 1,0 \cdot 571 \cdot 1,1 \cdot 3}{0,394 \cdot 4,0 \cdot 35}$$

$$\sigma_b = 54,259 \text{ psi}$$

Untuk mengetahui roda gigi aman atau tidak maka rumus AGMA menjadi :

$$\sigma_b \leq S_{ad}$$

$$\sigma_b \leq \frac{S_{at} \cdot K_L}{K_T \cdot K_R}$$

$$\sigma_b \leq \frac{1900 \cdot 1,4}{1 \cdot 1,5}$$

$$54,259 \text{ psi} \leq 17733,33 \text{ psi}$$

Nilai  $S_{at}$  dapat dilihat pada lampiran = 19.000 psi

Nilai  $K_L$  dilihat pada lampiran = 1,4

Nilai  $K_T = \frac{460 + T_f}{620} = 1$  karena T pelumas dibawah 250°F

Nilai  $K_R = 1,5$

Maka roda gigi **aman**.

Lalu dicari  $\frac{F_a}{V.F_r} > e$

$$\frac{26,455}{1.26,455} > 0.19$$

$1 > 0,19$  maka didapat X dan Y

Diketahui :  $X = 0,56$  dan  $Y = 1,99$

Nilai V = 1 ; karena ring dalam berputar

$$P = V.X.F_r + Y.F_a$$

$$P = 1.0,56 . 26,455 + 1,99 . 26,455$$

$$P = 67,46 \text{ lbf}$$

#### 4.2.5 Perhitungan Spherical Grinding

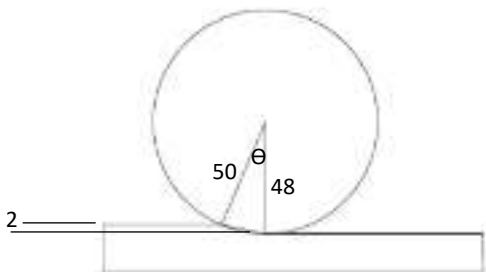
Pertama mencari luasan sesaat pada saat menggerinda, seperti pada ilustrasi berikut :

Diketahui :  $d = 100 \text{ mm}$

$$(f_r) = 2 \text{ mm}$$

$$Z' = 1000 \text{ mm}^3/\text{min}$$

$$N = 3000 \text{ rpm}$$



**Gambar 4.8** Proses gerinda silindris

- Cara mencari luasan sesaat dengan cara menghitung busur lingkaran :  
Mencari sudut  $\Theta$  :

$$\begin{aligned}\cos \theta &= \frac{48}{50} \\ \theta &= \cos^{-1} 0,96 \\ \theta &= 16,26^\circ\end{aligned}$$

$$\begin{aligned}\text{Luas Busur} &= \frac{\theta}{360} \cdot 2 \cdot \pi \cdot r \\ \text{Luas Busur} &= \frac{16,26}{360} \cdot 2 \cdot \pi \cdot 50 \\ \text{Luas Busur} &= 14,19 \text{ } mm^2\end{aligned}$$

b. Kemudian mencari  $V_s$  :

$$\begin{aligned}V_s &= \frac{\pi \cdot d \cdot n}{60} \\ V_s &= \frac{\pi \cdot 100 \cdot 3000}{60} \\ V_s &= 15.707 \text{ } mm/s\end{aligned}$$

c. Dicari  $h_{eq}$  :

$$h_{eq} = \frac{Z'}{V_s} = \frac{1000}{15.707} = 0,063 \mu m$$

d. Setelah  $h_{eq}$  didapat maka mencari  $V_{ft}$  :

$$\begin{aligned}h_{eq} &= \frac{F_r \cdot V_{ft}}{V_s} \\ 0,063 &= \frac{2 \cdot V_{ft}}{15.707} \\ V_{ft} &= \frac{0,0632 \cdot 15.707}{2} \\ V_{ft} &= 494,77 \text{ } mm/s\end{aligned}$$

Dari perhitungan teori di atas maka kecepatan gerak meja pada mesin ECG ini aman untuk digunakan, dengan kecepatan 200 mm/min.

## 4.3 Hasil dan Analisa

### 4.3.1 Pengujian Mesin ECG

Pengujian dilakukan dengan cara melakukan penggerindaan konvensional dan proses ECG secara bergiliran dengan waktu yang sama dengan metode gerinda silindris.



**Gambar 4.9** Hasil penggerindaan konvensional

#### 4.3.1.1 Hasil Pengujian Penggerindaan konvensional

Waktu pengujian = 1 menit

Dimensi yang di gerinda = 102,65 mm

Dimensi hasil penggerindaan = 102,35 mm

Kedalaman penggerindaan (a) = 0,3 mm

$$MRR = \frac{\text{Panjang penggerindaan} \times b_s \times a}{\text{Waktu penggerindaan}}$$

$$\begin{aligned} MRR &= \frac{102,65 \times 5 \times 0,3}{1} \\ MRR &= 153,975 \text{ mm}^3/\text{min} \end{aligned}$$

### 5.3.2.1 Hasil Pengujian Proses ECG



**Gambar 4.10** Hasil pengujian proses ECG

Data-data yang diketahui :

Waktu pengujian	= 1 menit
Dimensi yang di gerinda	= 102,35 mm
Dimensi hasil penggerindaan	= 100,35 mm
Kedalaman penggerindaan (a)	= 2,35 mm
Ampere yang digunakan	= 30 A

Maka MRR yang dihasilkan dihitung menggunakan :

$$MRR = \frac{\text{Panjang penggerindaan} \times b_s \times a}{\text{Waktu penggerindaan}}$$

$$MRR = \frac{100,35 \times 5 \times 2,35}{1}$$

$$MRR = 1179,11 \text{ mm}^3/\text{min}$$

## 4.4 Hasil dan Analisa

Dari hasil pengujian didapat MRR ECG dengan kapasitas  $1179,11 \text{ mm}^3/\text{min}$ . Dengan proses ECG sebesar 90% dan proses penggerindaan konvensional sebesar 10%. Pada referensi buku

kalpakjian “*manufacturing Engineering and Technology*” menyebutkan bahwa dalam mesin ECG. Mayoritas metal removal rate dari ECG dari proses electrolisis dan 5% nya dari penggerindaan konvensional. Dari hal tsb maka penggerindaan menggunakan ECG lebih baik dibandingkan dengan penggerindaan non konvensional.



**Gambar 4.11** Perbandingan hasil penggerindaan

## **BAB V**

### **KESIMPULAN**

#### **5.1      Kesimpulan**

Dari proses yang telah dijalankan dari desain, perhitungan, pembuatan dan pengujian didapatkan beberapa kesimpulan yaitu :

1. Pembuatan mesin ECG dengan memanfaatkan beberapa komponen – komponen dan bahan – bahan yang ada di laboratorium PNK D3 Teknik Mesin Industri ITS telah berhasil. Dan mesin ECG yang telah dibuat memiliki kapasitas  $1179,11 \text{ mm}^3/\text{min}$
2. Motor penggerak batu gerinda digunakan motor drill dengan daya 0,335 HP dengan putaran sebesar 3000 rpm
3. Kecepatan gerak makan maksimum mencapai 200 mm/min dengan ulir penggerak digunakan M 16, dapat bergerak ke arah sumbu x dan y.

#### **5.2      Saran**

Dari proses pengujian mesin ECG yang telah dibuat terdapat beberapa kelemahan. Maka ada beberapa saran untuk memperbaiki proses penggunaan mesin ECG yang telah dibuat.

1. Dilakukan proses pengolahan sisa larutan elektrolit seperti penyaringan agar elektrolit dapat digunakan kembali sehingga tidak diperlukan larutan elektrolit dengan volume yang banyak.
2. Penambahan kontrol kecepatan motor penggerak meja agar hasil penggerindaan lebih besar lagi
3. Desain ulang aquarium supaya ruang gerak pahat lebih luas lagi.

## **DAFTAR PUSTAKA**

1. **Kalpakjian, Serope dan Steven R Schmid.** Manufacturing Processes for Engineering Materials, New Jersey : Prentice Hall, 2003
2. **Kalpakjian, Serope dan Steven R Schmid.** Manufacturing Engineering and Technology, New jersey : Pearson, 2009.
3. **Pandey, P.C dan H.S Shan.** Modern Machining Processes, New Delhi : Tata Mcgraw-Hill Publishing Company Limited, 1976.
4. **Sularso dan Kiyosatsu Suga** Dasar Perencanaan dan Penelitian Elemen Mesin, Jakarta : PT. Pradnya Paramita, 2008 – Vol. XII.
5. **Rochim, Taufiq** Teori dan Teknologi Proses Pemesinan, Bandung : Higher Education Development Support Project, 1993.
6. **Deutschment, Aaron** Machine Design Theory, Collier Macmillan International Edition, London, 1985.
7. **Dobrovolsky, V. K. Zablonsky. S. Max. A. Radchik. & L. Erika** : Machine Element, Second Ediiton, Peace Publisher, Moskow, 1968.
8. **K. Lingaiah** : Machine Design Data Handbook, McGraw Hill, inc. New York, 1994.
9. **Mott Robert L** : Machine Element in Mechanical Design, fourth edition, Pearson Prentice Hall, New Jersey, 2004

**10. Bagaswara, Tito : Rancang Bangun Mesin Electrochemical Grinding dengan Kapasitas 100 mm<sup>3</sup>/min, Institut Teknologi Sepuluh Nopember. Surabaya, 2017.**

## Lampiran 1 : Beban Equivalen Bearing

Factor X and Y for Ball and Roller Bearings

Contact angular $\alpha$ , deg	(1.Fa/Cd)	Single-Row Bearing		Double-Row Bearing				B	
		(Fa/V.Fr) > e		(Fa/V.Fr) < e		(Fa/V.Fr) = e			
		X	Y	X	Y	X	Y		
Radial Contact Ball Bearing									
5	0,014	0,56	2,30	1	0	0,56	2,30	0,19	
	0,028		1,99				1,99	0,22	
	0,056		1,71				1,71	0,26	
	0,084		1,55				1,55	0,28	
	0,110		1,45				1,45	0,30	
	0,170		1,31				1,31	0,34	
	0,280		1,15				1,15	0,38	
	0,420		1,04				1,04	0,42	
	0,580		1,00				1,00	0,44	
Angular Contact Ball Bearing									
5	0,014	0,56	2,30	Use X,Y and e evaluates applicable to single- row radial contact bearing	2,78 2,40 2,07 1,87 1,75 1,58 1,39 1,28 1,21	0,78	3,74	0,23	
	0,028		1,99				3,23	0,26	
	0,056		1,71				2,78	0,30	
	0,085		1,55				2,52	0,34	
	0,110		1,45				2,36	0,36	
	0,170		1,31				2,13	0,40	
	0,280		1,15				1,87	0,45	
	0,420		1,04				1,69	0,50	
	0,580		1,00				1,63	0,52	
10	0,014	0,48	1,88	1,0	2,18 1,88 1,76 1,63 1,55 1,42 1,27 1,17 1,18	0,75	2,30	0,19	
	0,029		1,71				1,99	0,22	
	0,057		1,52				1,71	0,26	
	0,086		1,41				1,55	0,28	
	0,110		1,34				1,45	0,30	
	0,170		1,23				1,31	0,34	
	0,280		1,10				1,15	0,38	
	0,430		1,01				1,04	0,42	
	0,570		1,00				1,00	0,44	

Catatan :

(Fa/V.Fr) = e, maka : X = 1 dan Y = 0 (Single-row Bearing)

Sumber : Deutschnman, 1975

Lampiran 2 : Standar dimension and load rating of radila rolling bearing

( Go = basic static load (lb) ; C = basic dynamic load rating (lb) )

Bearing Bore, d	Outside Dia. D	Max Fillet Radius mm	Width, B mm	Dimension Series 03						Spherical Roller Bearing
				Self-aligning Ball Bearing		Single Row Deep Groove Ball Bearing		Angular Contact Slope angle Ball Bearing		
				C <sub>0</sub>	C	C <sub>0</sub>	C	C <sub>0</sub>	C	
4	16	0.012	6							
5	19	0.012	6							
5										
7										
8										
9										
10	35	0.024	11							
12	37	0.039	12	530	1630	1040	1680			
15	42	0.039	13	590	1650	1220	1960			
17	47	0.039	14	620	2170	1470	2340			
20	52	0.039	15	900	2150	1750	2750	1920	3000	
25	62	0.039	17	1350	3110	2380	3600	2870	4220	5430
30	72	0.039	19	1740	3700	3340	4850	3840	5370	3940
35	80	0.039	21	2210	4350	4020	5750	4620	6340	5370
40	90	0.059	23	2740	5110	-5020	-7040	5770	7740	6340
45	100	0.059	25	3580	6900	6720	9120	7730	10100	8030
50	110	0.079	27	3930	7510	3970	10700	9200	11800	11100
										18300
										19300

Sumber : Datasheet Aman, 1975

Lampiran 3 : Tabel Konversi Satuan (a)

TABLE. 1 Conversion Factors

**Area**

$$\begin{aligned}1 \text{ mm}^2 &= 1.0 \times 10^{-6} \text{ m}^2 \\1 \text{ cm}^2 &= 1.0 \times 10^{-4} \text{ m}^2 = 0.1550 \text{ in.}^2 \\1 \text{ m}^2 &= 10,7639 \text{ ft}^2\end{aligned}$$

$$\begin{aligned}1 \text{ ft}^2 &= 144 \text{ in.}^2 \\1 \text{ in.}^2 &= 6.4516 \text{ cm}^2 = 6.4516 \times 10^{-4} \text{ m}^2 \\1 \text{ ft}^2 &= 0.092903 \text{ m}^2\end{aligned}$$

**Conductivity**

$$\begin{aligned}1 \text{ W/m-K} &= 1 \text{ J/s-m-K} \\&= 0.577789 \text{ Btu/h-ft-R}\end{aligned}$$

$$1 \text{ Btu/h-ft-R} = 1,730,735 \text{ W/m-K}$$

**Density**

$$\begin{aligned}1 \text{ kg/m}^3 &= 0.06242797 \text{ lbm/ft}^3 \\1 \text{ g/cm}^3 &= 1000 \text{ kg/m}^3 \\1 \text{ g/cm}^3 &= 1 \text{ kg/L}\end{aligned}$$

$$1 \text{ lbm/ft}^3 = 16.01846 \text{ kg/m}^3$$

**Energy**

$$\begin{aligned}1 \text{ J} &= 1 \text{ N-m} = 1 \text{ kg-m}^2/\text{s}^2 \\1 \text{ J} &= 0.737552 \text{ lbf-ft} \\1 \text{ cal (Int.)} &= 4.1868 \text{ J} \\1 \text{ erg} &= 1.0 \times 10^{-7} \text{ J} \\1 \text{ eV} &= 1.60217733 \times 10^{-19} \text{ J}\end{aligned}$$

$$\begin{aligned}1 \text{ lbf-ft} &= 1.355818 \text{ J} \\&= 1.28507 \times 10^{-3} \text{ Btu} \\1 \text{ Btu (Int.)} &= 1,055056 \text{ kJ} \\&= 778.1693 \text{ lbf-ft}\end{aligned}$$

**Force**

$$\begin{aligned}1 \text{ N} &= 0.224809 \text{ lbf} \\1 \text{ kp} &= 9.80665 \text{ N} (1 \text{ kgf})\end{aligned}$$

$$1 \text{ lbf} = 4.448222 \text{ N}$$

**Gravitation**

$$g = 9.80665 \text{ m/s}^2$$

$$g = 32.17405 \text{ ft/s}^2$$

**Heat capacity, specific entropy**

$$1 \text{ kJ/kg-K} = 0.238846 \text{ Btu/lbm-R}$$

$$1 \text{ Btu/lbm-R} = 4.1868 \text{ kJ/kg-K}$$

**Heat flux (per unit area)**

$$1 \text{ W/m}^2 = 0.316998 \text{ Btu/h-ft}^2$$

$$1 \text{ Btu/h-ft}^2 = 3.15459 \text{ W/m}^2$$

**Heat transfer coefficient**

$$1 \text{ W/m}^2\text{-K} = 0.17611 \text{ Btu/h-ft}^2\text{-R}$$

$$1 \text{ Btu/h-ft}^2\text{-R} = 5.67826 \text{ W/m}^2\text{-K}$$

**Length**

$$\begin{aligned}1 \text{ mm} &= 0.001 \text{ m} = 0.1 \text{ cm} \\1 \text{ cm} &= 0.01 \text{ m} = 10 \text{ mm} = 0.3937 \text{ in.} \\1 \text{ in.} &= 3.28084 \text{ ft} = 39.370 \text{ in.} \\1 \text{ km} &= 0.621371 \text{ mi} \\1 \text{ mi} &= 1609.3 \text{ m (US statute)}\end{aligned}$$

$$\begin{aligned}1 \text{ ft} &= 12 \text{ in.} \\1 \text{ in.} &= 2.54 \text{ cm} = 0.0254 \text{ m} \\1 \text{ ft} &= 0.3048 \text{ m} \\1 \text{ mi} &= 1.609344 \text{ km} \\1 \text{ yd} &= 0.9144 \text{ m}\end{aligned}$$

(b)

TABLE (Continued) Conversion Factors

<b>Specific kinetic energy (V<sup>2</sup>)</b>	
1 m <sup>2</sup> /s <sup>2</sup> = 0.001 kJ/kg	1 ft <sup>2</sup> /s <sup>2</sup> = 3.9941 × 10 <sup>-3</sup> Btu/lbm
1 kJ/kg = 1000 m <sup>2</sup> /s <sup>2</sup>	1 Btu/lbm = 25037 ft <sup>2</sup> /s <sup>2</sup>
<b>Specific potential energy (Zg)</b>	
1 m·g <sub>std</sub> = 9.80665 × 10 <sup>-3</sup> kJ/kg	1 ft·g <sub>std</sub> = 1.0 lbf·ft/lbm
= 4.21607 × 10 <sup>-5</sup> Btu/lbm	= 0.001285 Btu/lbm
= 0.002989 kJ/kg	
<b>Specific volume</b>	
1 cm <sup>3</sup> /g = 0.001 m <sup>3</sup> /kg	
1 cm <sup>3</sup> /g = 1 L/kg	
1 m <sup>3</sup> /kg = 16.018 46 ft <sup>3</sup> /lbm	1 ft <sup>3</sup> /lbm = 0.062 428 m <sup>3</sup> /kg
<b>Temperature</b>	
1 K = 1 °C = 1.8 R = 1.8 F	1 R = (5/9) K
TC = TK - 273.15	TF = TR - 459.67
= (TF - 32)/1.8	= 1.8 TC + 32
TK = TR/1.8	TR = 1.8 TK
<b>Universal Gas Constant</b>	
R = N <sub>A</sub> k = 8.31451 kJ/kmol·K	R = 1.98589 Btu/lbmol·R
= 1.98589 kcal/kmol·K	= 1545.36 lbf·ft/lbmol·R
= 82.0578 atm·ft <sup>3</sup> /bmol·K	= 0.73024 atm·ft <sup>3</sup> /bmol·R
= 10.7317 (lbf/in. <sup>2</sup> )·ft <sup>3</sup> /bmol·R	
<b>Velocity</b>	
1 m/s = 3.6 km/h	1 ft/s = 0.681818 mi/h
= 3.28084 ft/s	= 0.3048 m/s
= 2.23694 mi/h	= 1.09728 km/h
1 km/h = 0.27778 m/s	1 mi/h = 1.46667 ft/s
= 0.91134 ft/s	= 0.44704 m/s
= 0.62137 mi/h	= 1.609344 km/h
<b>Volume</b>	
1 m <sup>3</sup> = 35.3147 ft <sup>3</sup>	1 ft <sup>3</sup> = 2.831 685 × 10 <sup>-3</sup> m <sup>3</sup>
1 L = 1 dm <sup>3</sup> = 0.001 m <sup>3</sup>	1 in. <sup>3</sup> = 1.6387 × 10 <sup>-5</sup> m <sup>3</sup>
1 Gal (US) = 3.785 412 L	1 Gal (UK) = 4.546 090 L
= 3.785 412 × 10 <sup>-3</sup> m <sup>3</sup>	1 Gal (US) = 231.00 in. <sup>3</sup>

(c)

TABLE (Continued) Conversion Factors

**Mass**

1 kg	= 2.204 623 lbm	1 lbm = 0.453 592 kg
1 tonne	= 1000 kg	1 slug = 14.5939 kg
1 grain	= $6.47989 \times 10^{-6}$ kg	1 ton = 2000 lbm

**Moment (torque)**

1 N·m	= 0.737 562 lbf·ft	1 lbf·ft = 1.355 818 N·m
-------	--------------------	--------------------------

**Momentum (mV)**

1 kg·m/s	= 7.232 94 lbm·ft/s	1 lbm·ft/s = 0.138 256 kg·m/s
	= 0.224809 lbf·s	

**Power**

1 W	= 1 J/s = 1 N·m/s	1 lbf·ft/s	= 1.355 818 W
	= 0.737 562 lbf·ft/s		= 4.626 24 Btu/h
1 kW	= 3412.14 Btu/h	1 Btu/s	= 1.055 056 kW
1 hp (metric)	= 0.735 499 kW	1 hp (UK)	= 0.7457 kW
			= 550 lbf·ft/s
			= 2544.43 Btu/h
1 ton of refrigeration	= 3.516 85 kW	1 ton of refrigeration	= 12 000 Btu/h

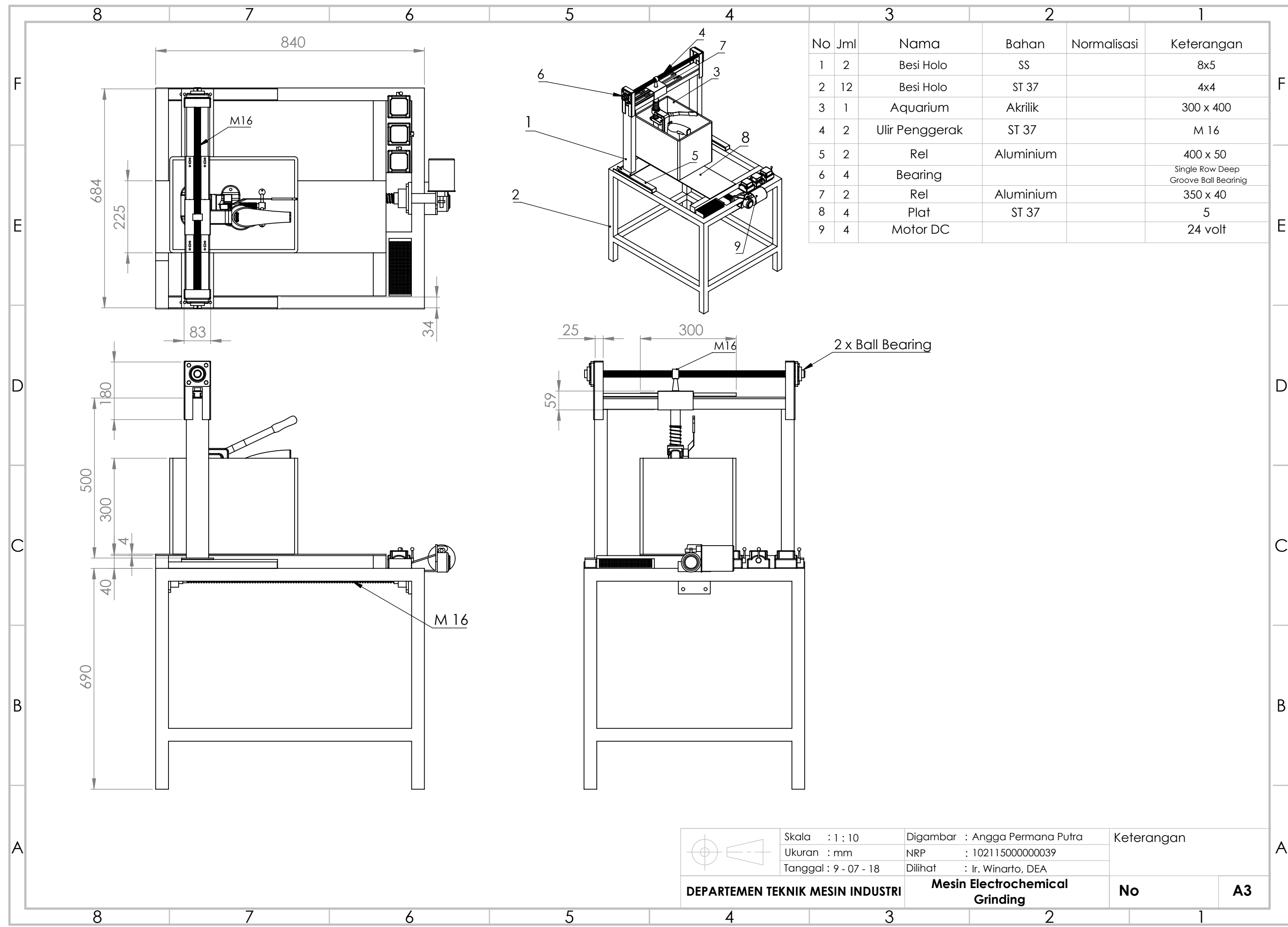
**Pressure**

1 Pa	= 1 N/m <sup>2</sup> = 1 kg/m·s <sup>2</sup>	1 lbf/in. <sup>2</sup>	= 6.894 757 kPa
1 bar	= $1.0 \times 10^5$ Pa = 100 kPa		
1 atm	= 101.325 kPa	1 atm	= 14.695 94 lbf/in. <sup>2</sup>
	= 1.01325 bar		= 29.921 in. Hg [32°F]
	= 760 mm Hg [0°C]		= 33.899 5 ft H <sub>2</sub> O [4°C]
	= 10.332 56 m H <sub>2</sub> O [4°C]	1 psi	= 6.894 757 kPa
1 torr	= 1 mm Hg [0°C]	1 in. Hg [0°C]	= 0.49115 lbf/in. <sup>2</sup>
	1 mm Hg [0°C] = 0.133 322 kPa	1 in. H <sub>2</sub> O [4°C]	= 0.036126 lbf/in. <sup>2</sup>
	1 m H <sub>2</sub> O [4°C] = 9.806 38 kPa		

**Specific energy**

1 kJ/kg	= 0.42992 Btu/lbm	1 Btu/lbm	= 2.326 kJ/kg
	= 334.55 lbf·ft/lbm	1 lbf·ft/lbm	= $2.98907 \times 10^{-3}$ kJ/kg

$$= 1.28507 \times 10^{-3} \text{ Btu/lbm}$$



## **BIODATA PENULIS**



Penulis dilahirkan di Bangkalan pada tanggal 16 Agustus 1997 dengan nama Angga Permana Putra, anak pertama dari dua bersaudara. Pendidikan formal yang telah ditempuh yaitu SD Negeri Blega 04, SMPN 1 Blega, SMAN 1 Bangkalan, kemudian melanjutkan studinya di Departemen Teknik Mesin Industri Fakultas Vokasi, Institut Teknologi Sepuluh Nopember, Surabaya dengan mengambil bidang studi manufaktur.

Penulis juga pernah melaksanakan Kerja Praktik di PT. PJB UPHT Gresik, yang bergerak dalam bidang pembangkit daya listrik bagian Jawa-Bali.

Penulis aktif diberbagai kegiatan dalam kampus di departemen. Pernah menjabat sebagai staff ahli Komunikasi dan Informasi (KOMINFO) Himpunan Mahasiswa D3 Teknik Mesin, dan sampai saat ini masih menjadi Kru dari ITS TV yang berada di bawah naungan HUMAS ITS. Selain itu banyak pula pelatihan dan event – event dalam lingkup jurusan, fakultas, institut yang diikutinya baik event akademis maupun non-akademis selama menjadi mahasiswa aktif di lingkungan ITS.